

**2013**

**西安电子科技大学**

本资料适用专业科目代号：811/821/831/844

# 信号与系统 辅导班笔记



**好网考研**  
club.xdnice.com

策划 / 好网论坛考研版块  
主编 / @西电点儿

最新西电考研资讯尽在 <http://weibo.com/xduky>

免费西电考研资料尽在 <http://blog.sina.com.cn/xduky>



敬告：

1. 本资料完全免费，禁止用于商业目的；
2. 请使用B5纸双面打印；
3. 本资料版本：2012.11.17；
4. 扫描左侧二维码可免费获取最新版本。

## 内 容 简 介

通院专业课辅导班在每年 11 月开设，其中信号与系统笔记具有重要的参考价值（相对来说通信原理的笔记不太重要）。辅导班每年讲的题大部分都是一样的（有相当一部分是历年真题，在本笔记中略掉，查看历年真题请访问本资料封面的博客地址或扫描封面的二维码即可），2012 年的信号与系统辅导班（2011 年 11 月开设）一共讲了 66 道题，其中 1-57 题是 2011 年之前就讲过的，58-66 题为 2012 年新增。67 题以后的为 2011 年之前讲过且 2012 年没有讲的。

如果报辅导班，请尽量在辅导班开课之前做完真题和这本笔记，如果讲到的题已经在本笔记中，即可节省记笔记的时间用来听课。

因制作时间仓促，本资料错误之处在所难免，敬请批评指正。

好网论坛考研版块：<http://club.xdnice.com/forum-124-1.html>

好网考研微博：<http://weibo.com/xduky>

好网考研博客：<http://blog.sina.com.cn/xduky>

好网考研交流 QQ 群：请访问博客获取群号。

**1** 求  $\int_{-\infty}^t e^{-\tau} \delta'(\tau) d\tau$  与  $\int_{-\infty}^{\infty} e^{-\tau} \delta'(\tau) d\tau$ 。

解:  $\int_{-\infty}^t e^{-\tau} \delta'(\tau) d\tau = \delta(t) + \varepsilon(t)$ ,  $\int_{-\infty}^{\infty} e^{-\tau} \delta'(\tau) d\tau = 0 + 1 = 1$ 。

解析:  $f(t)\delta'(t) = f(0)\delta'(t) - f'(0)\delta(t)$ ,  $\int_{-\infty}^t \delta'(\tau) d\tau = \delta(t)$ ,  $\int_{-\infty}^{\infty} \delta'(\tau) d\tau = 0$ 。

**2** 求  $\int_{-\infty}^3 e^{-t} \sin(\pi t + \frac{\pi}{5}) \delta(t-4) dt$ 。

解: 原式=0。解析: 若积分区间不含  $\delta(t)$  所在位置, 则积分等于零, 若包含, 则将所在时刻代入除  $\delta(t)$  外的表达式, 计算所得数值, 就是积分值。

**3** 求  $\int_{-\infty}^{\infty} \frac{\sin \pi t}{t} \delta(t) dt$ 。

解: 原式  $= \frac{\sin \pi t}{t} \Big|_{t=0} = \frac{\pi \cos \pi t}{1} = \pi$  (洛必达)

**4** 求  $\sum_{m=-\infty}^{k-2} \cos(\frac{m\pi}{4} + 45^\circ) \delta(3-m)$ 。

解: 原式  $= - \sum_{m=-\infty}^{k-2} \delta(m-3) = -\varepsilon(k-5)$

**5** 波形变换的步骤。

尺变  $\Leftrightarrow$  反折  $\Leftrightarrow$  移位

注: 向右为正问题, 例如  $f(t) \rightarrow f(1-\frac{1}{2}t)$ ; 向左为逆问题, 例如  $f(1-\frac{1}{2}t) \rightarrow f(t)$ , 可通过做题掌握。

**6** 已知  $f_1(t)$  和  $f_2(t)$  如图 1, 设  $y(t) = f_1(t) * f_2(t)$ , 求  $y(3)$ 。

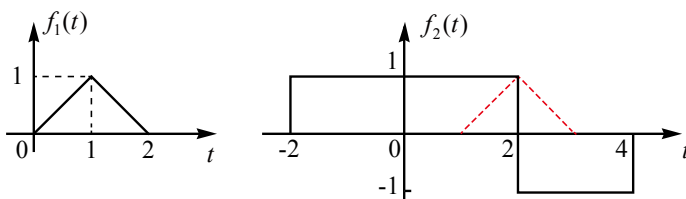


图 1

解:  $y(3)=0$ 。解析:  $y(3) = \int_{-\infty}^{\infty} f_1(3-\tau) f_2(\tau) d\tau$  (求面积)

**7** 某 LTI 连续系统具有一定的起始状态, 当输入为  $f_1(t)$  时, 全响应  $y_1(t) = 2e^{-t} - \cos \pi t, t \geq 0$  ①, 若起始状态不变, 输入  $f_2(t) = 2f_1(t)$  时, 全响应  $y_2(t) = -3\cos \pi t, t \geq 0$  ②, 求  $f_3(t) = 4f_1(t)$  时, 全响应  $y_3(t)$ 。

解:  $y_{zs1}(t) = \text{②} - \text{①} = -2e^{-t} - 2\cos \pi t$  ③,  $y_{zi}(t) = \text{①} - \text{③} = 4e^{-t} + \cos \pi t$  ④,  
 $y_3(t) = \text{④} + 4 \times \text{③} = -4e^{-t} - 7\cos \pi t$

**8**  $f(t) = (2e^{-t} - 1)\varepsilon(t)$ ,  $h(t) = e^{-2t}\varepsilon(t)$ , 求  $y_{zs}(t)$ 。

解:  $(2e^{-t} - 1)\varepsilon(t) * e^{-2t}\varepsilon(t) = \int_0^t (2e^{-\tau} - 1)e^{-2(t-\tau)} d\tau = (-\frac{1}{2} + 2e^{-t} - \frac{3}{2}e^{-2t})\varepsilon(t)$

**9** 已知 LTI 系统阶跃响应  $g(t) = \varepsilon(t-1) + e^{-t}\varepsilon(t)$ , 求当  $f(t) = 3e^{2t} (-\infty < t < \infty)$  时系统的  $y_{zs}(t)$ 。

解:  $h(t) = g'(t) = \delta(t-1) + \delta(t) - e^{-t}\varepsilon(t)$ ,  
 $y_{zs}(t) = f(t) * h(t) = 3e^{2t} + 3e^{2(t-1)} - 3e^{2t} * e^{-t}\varepsilon(t) = 2e^{2t} + 3e^{2(t-1)} (-\infty < t < \infty)$

注:  $3e^{2t}$  的傅里叶变换与双边拉普拉斯变换均不存在。

**10** 一线性时不变系统对  $f(t) = \sin t\varepsilon(t)$  的  $y_{zs}(t)$  如图 2, 求  $h(t)$ 。

解法一/时域解法:  $f(t) = \sin t\varepsilon(t)$  时,

$$\begin{aligned} y_{zs}(t) &= t[\varepsilon(t) - \varepsilon(t-1)] + (2-t)[\varepsilon(t-1) - \varepsilon(t-2)] \\ f'(t) &= \cos t\varepsilon(t), \quad y'_{zs}(t) = \varepsilon(t) - 2\varepsilon(t-1) + \varepsilon(t-2), \\ f''(t) &= -\sin t\varepsilon(t) + \delta(t), \quad y''_{zs}(t) = \delta(t) - 2\delta(t-1) + \delta(t-2). \end{aligned}$$

输入为  $f(t) + f''(t) = \delta(t)$  时, 输出  $= y_{zs}(t) + y''_{zs}(t)$ 。

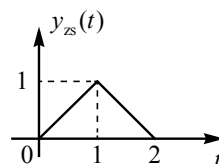


图 2

解法二/拉氏变换解法:  $F(s) = \frac{1}{s^2 + 1}$ ,  $Y_{zs}(s) = \frac{1 - 2e^{-s} + e^{-2s}}{s^2}$ ,

$$H(s) = \frac{Y_{zs}(s)}{F(s)} = 1 - 2e^{-s} + e^{-2s} + \frac{1 - 2e^{-s} + e^{-2s}}{s^2}, \quad h(t) = \delta(t) - 2\delta(t-1) + \delta(t-2) + y_{zs}(t).$$

注:  $\varepsilon(t) \leftrightarrow \frac{1}{s}$ ;  $t\varepsilon(t) \leftrightarrow \frac{1}{s^2}$ ;  $(t-t_0)\varepsilon(t-t_0) \leftrightarrow \frac{e^{-st_0}}{s^2}$ 。

**11** LTI 离散系统的单位响应  $h(k) = \varepsilon(k-2)$ ,  $f(k) = (\frac{1}{2})^{k+2}\varepsilon(k+1)$ , 求  $y_{zs}(k)$ 。

解法一/时域解法:

$$y_{zs}(k) = f(k) * h(k) = \sum_{m=-\infty}^{\infty} (\frac{1}{2})^{m+2} \varepsilon(m+1) \varepsilon(k-m-2) = \sum_{m=-1}^{k-2} (\frac{1}{2})^{m+2} = \frac{1}{2} + (\frac{1}{2})^2 + \dots + (\frac{1}{2})^k = 1 - (\frac{1}{2})^k$$

解法二/z 域解法:

$$H(z) = \frac{z^{-1}}{z-1}, \quad F(z) = \frac{\frac{1}{2}z^2}{z-\frac{1}{2}}, \quad Y_{zs}(z) = F(z) \cdot H(z) = \frac{z}{z-1} - \frac{z}{z-\frac{1}{2}}, \quad y_{zs}(k) = 1 - (\frac{1}{2})^k, \quad k \geq 0.$$

**12** 周期信号  $f(t) = 1 + 2\sin(\pi t) - \sin(3\pi t) + \sin(4\pi t) + \cos(3\pi t) - \frac{1}{2}\cos(5\pi t - \frac{\pi}{4})$ , 试画出单边振幅频谱图与相位频谱图。

解: 先改写为标准傅里叶级数三角函数形式  $f(t) = \frac{A_0}{2} + \sum_{n=1}^{\infty} A_n \cos(n\Omega t + \varphi_n)$ :

原式  $= 1 + 2\cos(\pi t - 90^\circ) + \sqrt{2}\cos(3\pi t + 45^\circ) + \cos(4\pi t - 90^\circ) + \frac{1}{2}\cos(5\pi t + 135^\circ)$ , 见图 3。

注: 若画双边谱, 化成指数形式  $f(t) = \sum_{n=-\infty}^{\infty} F_n e^{jn\Omega t}$ , 除直流分量外, 幅值减半, 相位关于原点对称。

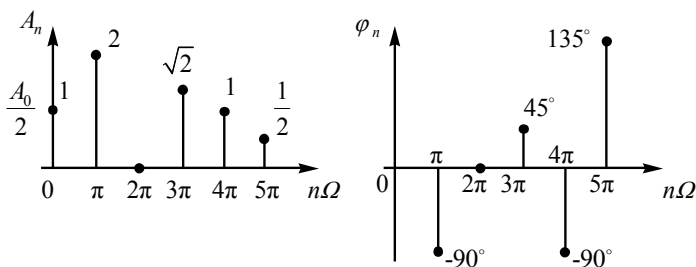


图 3

**13**  $f_1(t)$  如图 4(a), 求  $F_1(j\omega)$ 。

解: 由  $g_\tau(t) \leftrightarrow \tau \text{Sa}(\frac{\omega\tau}{2})$  与  $f^{(-1)}(t) \leftrightarrow \frac{F(j\omega)}{j\omega} + \pi F(0)\delta(\omega)$  得:  $g_2(t) \leftrightarrow 2\text{Sa}(\omega)$ ,  $f_1(t) \leftrightarrow \frac{2\text{Sa}(\omega)}{j\omega} + \pi\delta(\omega)$ 。

注: 一般复杂时域信号, 导函数通常形式简单, 但如果  $f(-\infty) \neq 0$ , 则不可直接套用。

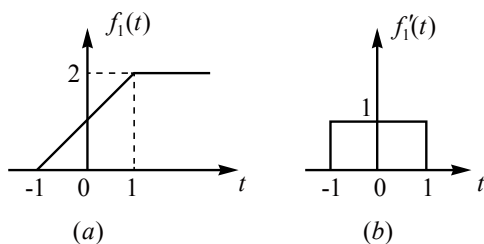


图 4

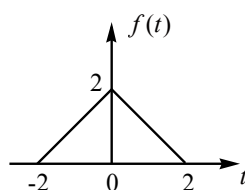


图 5

**14** 已知  $F(j\omega) = \frac{\sin^2 \omega}{(\frac{\omega}{2})^2}$ , 求  $f(t)$ 。

解: 如图 5,  $F(j\omega) = [2\text{Sa}(\omega)]^2$ ,  $g_2(t) \leftrightarrow 2\text{Sa}(\omega)$ , 故  $f(t) = g_2(t) * g_2(t)$ 。

**15** 已知  $F(j\omega) = \frac{1}{2 - \omega^2 + j3\omega}$ , 求  $f(t)$ 。

解: 将  $-\omega^2$  改写为  $(j\omega)^2$ ,  $F(j\omega) = \frac{1}{(j\omega+1)(j\omega+2)} = \frac{1}{j\omega+1} - \frac{1}{j\omega+2}$ ,  $f(t) = (e^{-t} - e^{-2t})\varepsilon(t)$ 。

注: 类似于  $e^{-at} \leftrightarrow \frac{1}{s+a}$  ( $s$  域), 但  $\varepsilon(t) \leftrightarrow \frac{1}{j\omega} + \pi\delta(\omega)$ 。

**16** 已知某 LTI 系统的频率响应  $H(j\omega) = \begin{cases} 0, & |\omega| > 8 \\ \pi e^{-j2\omega}, & |\omega| < 8 \end{cases}$ , 输入  $f(t) = \frac{\sin 2t}{t} \cos 8t$ , 求输出  $y(t)$ 。

解:  $H(j\omega) = \pi G_{16}(\omega) e^{-j2\omega}$ ,  $\frac{\sin 2t}{t} \leftrightarrow \pi G_4(\omega)$ ,  $\cos 8t \leftrightarrow \pi[\delta(\omega+8) + \delta(\omega-8)]$ ,

$$F(j\omega) = \frac{1}{2\pi} \cdot \pi^2 G_4(\omega) * [\delta(\omega+8) + \delta(\omega-8)] = \frac{\pi}{2} [G_4(\omega+8) + G_4(\omega-8)],$$

$$Y(j\omega) = F(j\omega)H(j\omega) = \frac{\pi^2}{2} e^{-j2\omega} [g_2(\omega+7) + g_2(\omega-7)], \quad \delta(t-2) \leftrightarrow e^{-j2\omega},$$

$$\frac{1}{\pi} \text{Sa}(t)[e^{j7t} + e^{-j7t}] \leftrightarrow [g_2(\omega+7) + g_2(\omega-7)], \quad y(t) = \pi \text{Sa}(t-2) \cos[7(t-2)].$$

**17** 对信号  $f(t) = \text{Sa}(100\pi t) + \text{Sa}^2(80\pi t)$  进行理想抽样, 求不使频谱混叠的最低抽样率  $f_N$ 。

解:  $f_N = 160 \text{ Hz}$

解析: 取最高频率的方法: 1. 和信号: 取频率最高的分信号; 2. 卷积信号: 取最高频率小的;  
3. 乘积信号: 按相乘两信号最高频率之和。

即:  $f_1(t) \rightarrow f_{1\max}$ ,  $f_2(t) \rightarrow f_{2\max}$ , 则  $f(t) = f_1(t) + f_2(t) \rightarrow f_{\max} = \max[f_{1\max}, f_{2\max}]$ ,

$f(t) = f_1(t) * f_2(t) \rightarrow f_{\max} = \min[f_{1\max}, f_{2\max}]$ ,  $f(t) = f_1(t) \cdot f_2(t) \rightarrow f_{\max} = f_{1\max} + f_{2\max}$ 。

【 $f(t) = f_1(t) \cdot f_2(t)$  可由  $\cos A \cos B = \frac{1}{2}[\cos(A+B) + \cos(A-B)]$  得出】

**18** 确定序列  $f(k) = 2\cos(\frac{\pi}{3}k) + 3\sin(\frac{\pi}{4}k)$  是否为周期序列, 若是, 求周期  $N$ 。

解:  $N = 24$ 。解析: 取最小公倍数。

**19**  $f(t) = \varepsilon(t+2) - \varepsilon(t-1)$ , 求  $F(s)$ 。

解:  $F(s) = \frac{1}{s} - \frac{e^{-s}}{s}$

**20**  $f(t)$  如图 6, 求  $F(s)$ 。

解:  $f(t)$  为因果周期信号,  $T = 2$ ,  $\Omega = \pi$ 。令  $f_1(t) = \{\sin(\pi t)\varepsilon(t) + \sin[\pi(t-1)]\varepsilon(t-1)\} \leftrightarrow \frac{\pi}{s^2 + \pi^2}(1 + e^{-s})$

(第一个周期),  $f(t) = f_1(t) * \sum_{n=0}^{\infty} \delta(t-nT) = \sum_{n=0}^{\infty} f_1(t-2n) \leftrightarrow \sum_{n=0}^{\infty} F_1(s)e^{-2ns} = \frac{\pi}{(s^2 + \pi^2)(1 - e^{-s})}$

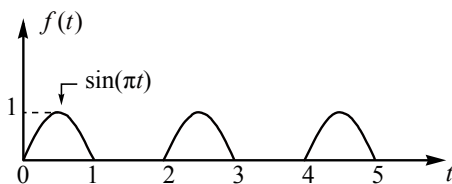


图 6

**21** 已知单边  $F(s) = \frac{s+1}{s^2+2s+10}$ , 求  $f(t)$ 。

解:  $F(s) = \frac{s+1}{(s+1)^2+3^2} \Rightarrow f(t) = \cos(3t) \cdot e^{-t} \varepsilon(t)$

**22**  $f(k) = (-1)^k (k-1) \varepsilon(k-1)$ , 求单边  $F(z)$ 。

解:  $f(k) = -(-1)^{k-1} (k-1) \varepsilon(k-1)$ ,  $(-1)^k \varepsilon(k) \leftrightarrow \frac{z}{z+1}$ ,

$$k(-1)^k \varepsilon(k) \leftrightarrow -z \frac{d}{dz} \left( \frac{z}{z+1} \right) = \frac{-z}{(z+1)^2},$$

$$f(k) \leftrightarrow -\frac{-z}{(z+1)^2} \cdot z^{-1} = \frac{1}{(z+1)^2}。$$

**23** 求  $2^k \sum_{i=0}^{k-1} [(-1)^i \varepsilon(i)]$  的单边  $z$  变换  $F(z)$ 。

解: 由常用变换对:  $(-1)^i \varepsilon(i) \leftrightarrow \frac{z}{z+1}$ ; 由累和性:  $\sum_{i=0}^{k-1} [(-1)^i \varepsilon(i)] \leftrightarrow \frac{z}{z-1} \cdot \frac{z}{z+1} \cdot z^{-1} = \frac{z}{(z-1)(z+1)}$

(也可  $\sum_{i=0}^{k-1} [(-1)^i \varepsilon(i)] = \varepsilon(0) - \varepsilon(1) + \varepsilon(2) - \varepsilon(3) + \dots + (-1)^{k-1} \varepsilon(k-1) = \frac{1-(-1)^k}{2} \varepsilon(k) \leftrightarrow \frac{z}{(z-1)(z+1)}$ );

由  $z$  域尺变性, 原式  $\leftrightarrow \frac{\frac{z}{2}}{(\frac{z}{2}-1)(\frac{z}{2}+1)} = \frac{2z}{z^2-4}$ 。

**24** 单边  $F(z) = \frac{z^2+2z-4}{z^6}$ , 求  $f(k)$ 。

解:  $F(z) = z^{-4} + 2z^{-5} - 4z^{-6}$ ,  $f(k) = \delta(k-4) + 2\delta(k-5) - 4\delta(k-6)$ 。

**25** 双边  $F(z) = \frac{3z^2}{(z+1)(z-2)}$ ,  $1 < |z| < 2$ , 求  $f(k)$ 。

解:  $F(z) = \frac{z}{z+1} + \frac{2z}{z-2}$  (第一项为因果, 第二项为反因果)  $f(k) = (-1)^k \varepsilon(k) - 2 \cdot 2^k \varepsilon(-k-1)$ 。

注:  $-a^k \varepsilon(-k-1) \leftrightarrow \frac{z}{z-a}$ ,  $|z| < |a|$ , 双边  $z$  变换一定标收敛域, 单双边都是重点。

**26** LTI 方程为  $y(k) - y(k-1) - 2y(k-2) = f(k)$ ，已知  $f(k) = 9(\frac{1}{2})^k$ ， $y(-1) = 0$ ， $y(-2) = 1.5$  求  $y_{zi}(k)$ ， $y_{zs}(k)$ ， $y(k)$ 。

解：  $(1 - z^{-1} - 2z^{-2})Y_{zs}(z) = F(z) = \frac{9z}{z - \frac{1}{2}}$ ，

解得  $Y_{zs}(z) = \frac{-z}{z - \frac{1}{2}} + \frac{2z}{z+1} + \frac{8z}{z-2}$ ， $y_{zs}(k) = [-(-\frac{1}{2})^k + 2(-1)^k + 8 \times 2^k] \varepsilon(k)$ 。

求  $y_{zi}(k)$  用时域：由  $\lambda^2 - \lambda - 2 = 0$  得  $\lambda_1 = -1$ ， $\lambda_2 = 2$ ，设  $y_{zi}(k) = C_1(-1)^k + C_2(2)^k$ ，

由  $y(-1)$ ， $y(-2)$  得  $C_1 = 1$ ， $C_2 = 2$ ， $\therefore y_{zi}(k) = [(-1)^k + 2 \cdot (2)^k] \varepsilon(k)$ ，

$y(k) = y_{zi}(k) + y_{zs}(k) = [3(-1)^k + 10(2)^k - (\frac{1}{2})^k] \varepsilon(k)$

也可直接用  $z$  域求  $y(k)$ ： $Y(z) - [z^{-1}Y(z) + y(-1)] - 2[z^{-2}Y(z) + z^{-1}y(-1) + y(-2)] = F(z) = \frac{9z}{z - \frac{1}{2}}$ ，

解得： $Y(z) = \frac{z^2(12z - \frac{3}{2})}{(z - \frac{1}{2})(z-2)(z+1)} = \frac{-z}{z - \frac{1}{2}} + \frac{10z}{z-2} + \frac{3z}{z+1}$ ， $\therefore y(k) =$ （结果同上）。

**27** 如图 7，2 个 LTI 子系统  $S_a$ ， $S_b$ ，状态方程和输出方程分别为：

对于子系统  $S_a$ ， $\begin{bmatrix} \dot{x}_{a1} \\ \dot{x}_{a2} \end{bmatrix} = \begin{bmatrix} 1 & -2 \\ 2 & 1 \end{bmatrix} \begin{bmatrix} x_{a1} \\ x_{a2} \end{bmatrix} + \begin{bmatrix} 1 \\ 0 \end{bmatrix} f_1(t)$ ， $y_1(t) = [1 \quad -1] \begin{bmatrix} x_{a1} \\ x_{a2} \end{bmatrix}$

对于子系统  $S_b$ ， $\begin{bmatrix} \dot{x}_{b1} \\ \dot{x}_{b2} \end{bmatrix} = \begin{bmatrix} 2 & -1 \\ -2 & 1 \end{bmatrix} \begin{bmatrix} x_{b1} \\ x_{b2} \end{bmatrix} + \begin{bmatrix} 2 \\ 0 \end{bmatrix} f_2(t)$ ， $y_2(t) = [0 \quad -1] \begin{bmatrix} x_{b1} \\ x_{b2} \end{bmatrix}$ ，

- (1) 画出信号流图，标出状态变量  $x_{a1}$ ， $x_{a2}$ ， $x_{b1}$ ， $x_{b2}$ ；
- (2) 写出复合系统的状态方程，输出方程的矩阵形式；
- (3) 求复合系统的系统函数  $H(s)$ 。

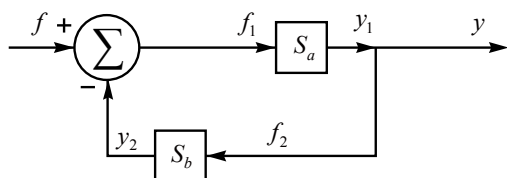


图 7

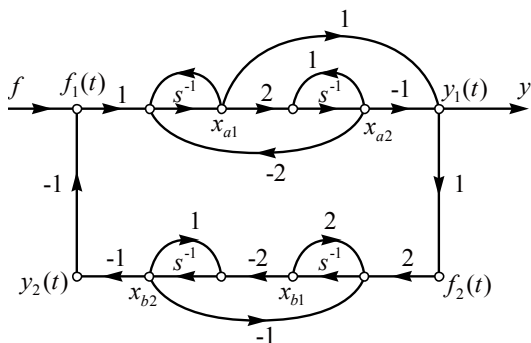


图 8



解: (1) 用试探法, 如图 8。

(2) 复合系统状态方程和输出方程分别为:

$$\begin{bmatrix} \dot{x}_{a1} \\ \dot{x}_{a2} \\ \dot{x}_{b1} \\ \dot{x}_{b2} \end{bmatrix} = \begin{bmatrix} 1 & -2 & 0 & 1 \\ 2 & 1 & 0 & 0 \\ 2 & -2 & 2 & -1 \\ 0 & 0 & -2 & 1 \end{bmatrix} \begin{bmatrix} x_{a1} \\ x_{a2} \\ x_{b1} \\ x_{b2} \end{bmatrix} + \begin{bmatrix} 1 \\ 0 \\ 0 \\ 0 \end{bmatrix} f, \quad y = [1 \ -1 \ 0 \ 0] \begin{bmatrix} x_{a1} \\ x_{a2} \\ x_{b1} \\ x_{b2} \end{bmatrix}$$

(3) 分别求  $H_a(s)$ ,  $H_b(s)$ , 用梅森公式:

$$H_a(s) = \frac{-2s^{-2} + s^{-1}(1-s^{-1})}{1-s^{-1}-s^{-1}+4s^{-2}+s^{-2}} = \frac{s-3}{s^2-2s+5} \quad (1),$$

$$H_b(s) = \frac{4}{s(s-3)} \quad (2), \quad \text{如图 9,}$$

$$H(s) = \frac{H_a(s)}{1+H_a(s)H_b(s)} = \frac{s^2-3s}{s^3-2s^2+5s+4}.$$

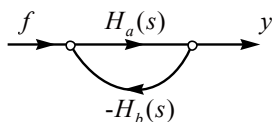


图 9

**28** 如图 10, 三个子系统  $h_1(t) = \varepsilon(t)$ ,  $h_2(t) = t\varepsilon(t)$ , 复合系统  $g(t) = (2-t-2e^{-t})\varepsilon(t)$ , 求子系统 3 的冲激响应  $h_3(t)$ 。

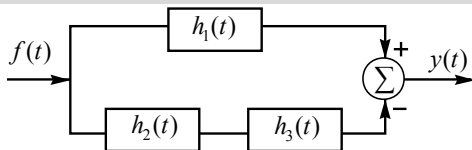


图 10

解:  $H_1(s) = \frac{1}{s}$ ,  $H_2(s) = \frac{1}{s^2}$ ,  $H(s) = sG(s) = \frac{s-1}{s(s+1)}$ ,  $H(s) = H_1(s) - H_2(s)H_3(s)$ ,

$$H_3(s) = \frac{H_1(s) - H(s)}{H_2(s)} = \frac{2s}{s+1} = 2 - \frac{2}{s+1}, \quad h_3(t) = 2\delta(t) - 2e^{-t}\varepsilon(t).$$

注:  $\varepsilon(t) \leftrightarrow \frac{1}{s}$ ,  $e^{-t}\varepsilon(t) \leftrightarrow \frac{1}{s+1}$ ,  $\varepsilon(t-1) \leftrightarrow \frac{e^{-s}}{s}$ 。

**29** 某 LTI 系统频率响应为  $H(j\omega) = \begin{cases} e^{-j2\omega}, & |\omega| > 1 \text{ rad/s} \\ 0, & |\omega| < 1 \text{ rad/s} \end{cases}$ ,

(1) 求  $h(t)$ ; (2)  $f(t) = 2\cos 2.5t$  时, 求  $y(t)$ ; (3)  $f(t) = 2e^{-t}\varepsilon(t)$  时, 求  $y(t)$  的能量  $E$ 。

解: (1) 改写:  $H(j\omega) = [1 - g_2(\omega)]e^{-j2\omega} = e^{-j2\omega} - g_2(\omega)e^{-j2\omega}$ ,  $h(t) = \delta(t-2) - \frac{1}{\pi}\text{Sa}(t-2)$ 。

(2)  $\omega = 2.5$ ,  $H(j2.5) = e^{-j5} = 1\angle -5^\circ$ ,  $\therefore y(t) = 2 \times 1 \cos(2.5t - 5) = 2\cos(2.5t - 5)$

(3)  $Y(j\omega) = F(j\omega)H(j\omega) = \frac{2e^{-j2\omega}}{j\omega+1} [1 - g_2(\omega)]$ ,

$$E = \frac{1}{2\pi} \int_{-\infty}^{\infty} |Y(j\omega)|^2 d\omega = \frac{1}{2\pi} \left[ \int_{-\infty}^{-1} \frac{4}{\omega^2+1} d\omega + \int_1^{\infty} \frac{4}{\omega^2+1} d\omega \right] = 1 \text{ J}.$$

**30**  $y(t) = \int_{-\infty}^{2t-1} f(\tau) d\tau$ ，判别该系统性质。

解：设  $f_1(t)$ ， $f_2(t)$  输出分别为  $y_1(t)$ ， $y_2(t)$ 。则  $y_1(t) = \int_{-\infty}^{2t-1} f_1(\tau) d\tau$ ， $y_2(t) = \int_{-\infty}^{2t-1} f_2(\tau) d\tau$

$$\text{设 } f_3(t) = af_1(t) + bf_2(t), \quad y_3(t) = \int_{-\infty}^{2t-1} f_3(\tau) d\tau = a \int_{-\infty}^{2t-1} f_1(\tau) d\tau + b \int_{-\infty}^{2t-1} f_2(\tau) d\tau = ay_1(t) + by_2(t),$$

$\therefore$  是线性。

$$\text{设 } f_4(t) = f_1(t-t_0) \text{ 则 } y_4(t) = \int_{-\infty}^{2t-1} f_1(\tau-t_0) d\tau \neq y_1(t-t_0) = \int_{-\infty}^{2(t-t_0)-1} f_1(\tau) d\tau, \quad \therefore \text{为时变。}$$

注：若  $\int_{-\infty}^{t-1} f_1(\tau) d\tau$  则为时不变。

**31**  $f(t) \leftrightarrow F(j\omega)$ ，设  $y(t) = e^{j4t} f(-\frac{1}{2}t-2)$ ，求  $Y(j\omega)$ 。

解： $f(-\frac{1}{2}t) \leftrightarrow 2F(-2j\omega)$ ， $f[-\frac{1}{2}(t+4)] \leftrightarrow 2F(-2j\omega)e^{j4\omega}$ ， $y(t) \leftrightarrow 2F[-j2(\omega-4)]e^{j4(\omega-4)} = Y(j\omega)$ 。

**32**  $f(2-2t)$  波形如图 11 (a)，试画出  $f(t)$  和  $\int_{-\infty}^t f(\tau) d\tau$  的波形。

解：如图 11 (b)(c) 注：尺度变换时注意冲激强度的变化，冲激偶只标  $\downarrow$ ，不标大小（无穷大）。

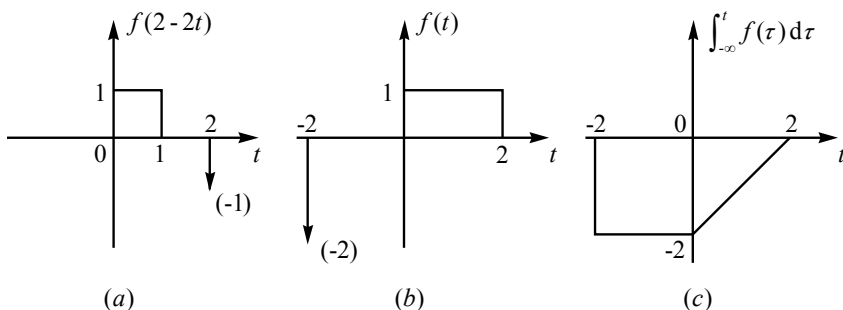


图 11

**33**  $f(t)$  的波形如图 12，求  $F(s)$ 。

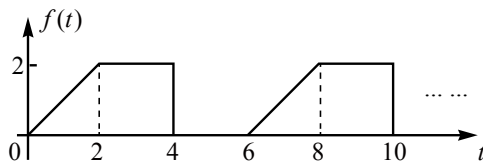


图 12

解：第一周期  $t[\varepsilon(t) - \varepsilon(t-2)] + 2[\varepsilon(t-2) - \varepsilon(t-4)]$

$$= t\varepsilon(t) - (t-2)\varepsilon(t-2) - 2\varepsilon(t-4) \leftrightarrow \frac{1}{s^2} - \frac{e^{-2s}}{s^2} - \frac{2e^{-4s}}{s} = \frac{1 - e^{-2s} - 2se^{-4s}}{s^2}$$

$$f(t) = \sum_{n=0}^{\infty} f_1(t-4n), \quad F(s) = F_1(s) \sum_{n=0}^{\infty} e^{-4ns} = F_1(s) \frac{1}{1 - e^{-4s}} = \frac{1 - e^{-2s} - 2se^{-4s}}{s^2(1 - e^{-4s})}.$$

**34**  $F(j\omega) = g_4(\omega) \cos(\pi\omega)$ , 求  $f(t)$ 。

解:  $\frac{\sin 2t}{\pi t} \leftrightarrow g_4(\omega)$ ,  $g_4(\omega) \cos(\pi\omega) = g_4(\omega) \cdot (\frac{1}{2}e^{j\pi\omega} + \frac{1}{2}e^{-j\pi\omega}) = F(j\omega)$ ,

$$\frac{1}{2} \cdot \frac{\sin 2(t+\pi)}{\pi(t+\pi)} + \frac{1}{2} \cdot \frac{\sin 2(t-\pi)}{\pi(t-\pi)} \leftrightarrow F(j\omega), \quad f(t) = \frac{1}{\pi} \{ \text{Sa}[2(t+\pi)] + \text{Sa}[2(t-\pi)] \}。$$

**35**  $f(t)$  如图 13, 求  $F(0)$  和  $\int_{-\infty}^{\infty} F(j\omega) d\omega$ 。

解:  $F(j\omega) = \int_{-\infty}^{\infty} f(t)e^{-j\omega t} dt$ ,  $F(0) = \int_{-\infty}^{\infty} f(t) dt = 1$ ,

$$f(t) = \frac{1}{2\pi} \int_{-\infty}^{\infty} F(j\omega)e^{j\omega t} d\omega, \quad \therefore \int_{-\infty}^{\infty} F(j\omega) d\omega = 2\pi f(0) = 0。$$

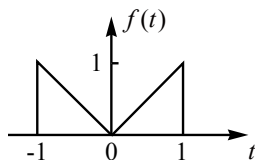


图 13

**36** 双边  $F(z) = \frac{3z^2}{(z+0.5)(z-1)}$ ,  $0.5 < |z| < 1$ , 求  $f(k)$ 。

解: 本题与第 25 题类似,  $F(z) = \frac{z}{z+0.5} + \frac{2z}{z-1}$ ,  $f(k) = (-0.5)^k \varepsilon(k) - 2\varepsilon(-k-1)$ 。

**37** LTI 阶跃响应  $g(t) = \varepsilon(t) - \varepsilon(t-2)$ , (1) 求  $h(t)$ ; (2) 当  $f(t) = \int_{t-5}^{t-1} \delta(\tau) d\tau$  时求  $y_{zs}(t)$ , 并画出波形。

解: (1)  $h(t) = \delta(t) - \delta(t-2)$ ;

$$(2) \int_{t-5}^{t-1} \delta(\tau) d\tau = \int_{-\infty}^{t-1} \delta(\tau) d\tau - \int_{-\infty}^{t-5} \delta(\tau) d\tau = \varepsilon(t-1) - \varepsilon(t-5),$$

$y_{zs}(t) = f(t) * h(t) = \varepsilon(t-1) - \varepsilon(t-5) - \varepsilon(t-3) + \varepsilon(t-7)$ 。波形见图 14。

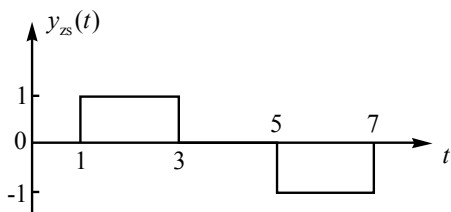


图 14

**38** 某 LTI 因果离散系统框图如图 15 (a), 已知当输入  $f(k) = \varepsilon(k)$  时, 全响应  $y(k)$  在  $k=2$  时值为 42,

求: (1)  $H(z)$ ; (2)  $y_{zi}(k)$ ; (3) 该系统是否存在频率响应, 若不存在说明理由, 若存在绘出幅频特性。

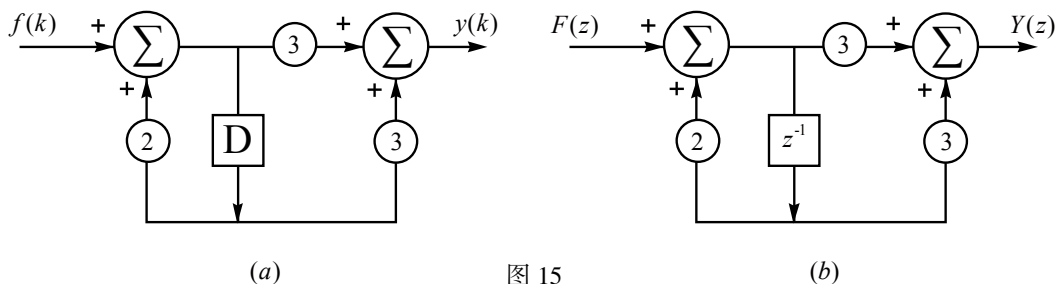


图 15

解: (1)画  $z$  域框图如图 15 (b), 由梅森公式  $H(z) = \frac{3+3z^{-1}}{1-2z^{-1}} = \frac{3z+3}{z-2}$  ①

$$(2) Y_{zs}(z) = F(z)H(z) = \frac{z}{z-1} \cdot \frac{3z+3}{z-2} = \frac{9z}{z-2} - \frac{6z}{z-1}, \quad y_{zs}(k) = [9 \cdot (2)^k - 6] \varepsilon(k) \quad ②$$

由①得特征根  $\lambda = 2$ , 设  $y_{zi}(k) = c \cdot (2)^k \varepsilon(k)$ ,  $y(k) = y_{zi}(k) + y_{zs}(k)$ ,

由  $k=2$  时  $y(2)=42$  得  $c=3$ ,  $\therefore y_{zi}(k) = 3(2)^k \varepsilon(k)$

(3)极点  $\lambda=2$  在单位圆外, 系统不稳定, 频响  $h(k)$  不存在, 傅里叶变换  $H(e^{j\omega})$  不存在。

**39** 已知 LTI 因果连续系统频响函数  $H(j\omega) = \frac{3-j2\omega}{2-\omega^2+j3\omega}$ , (1)求  $h(t)$ ; (2)若输入  $f(t) = 4t\varepsilon(t)$ , 求  $y_{zs}(t)$ 。

解: (1)  $H(j\omega) = \frac{5}{j\omega+1} - \frac{7}{j\omega+2}$ ,  $h(t) = (5e^{-t} - 7e^{-2t})\varepsilon(t)$ 。

$$(2) Y_{zs}(s) = \frac{4}{s^2} \cdot \frac{3-2s}{(s+1)(s+2)} = \frac{6}{s^2} - \frac{13}{s} + \frac{20}{s+1} - \frac{7}{s+2}, \quad y_{zs}(t) = (6t - 13 + 20e^{-t} - 7e^{-2t})\varepsilon(t)。$$

**40** LTI 连续系统框图如图 16, 输入  $f(t) = 3(1+e^{-t})\varepsilon(t)$  时, 全响应  $y(t) = (4e^{-2t} + 3e^{-3t} + 1)\varepsilon(t)$ 。

(1) 写出输入输出方程; (2) 求  $y_{zi}(t)$ ; (3) 求初始状态  $y(0_-)$ ,  $y'(0_-)$ 。

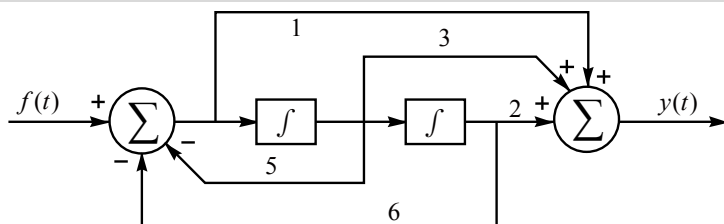


图 16

解: (1) 画  $s$  域框图 (略) 和信号流图如图 17,

$$\text{由梅森公式 } H(s) = \frac{2s^{-2} + 3s^{-1} + 1}{1 + 5s^{-1} + 6s^{-2}} = \frac{s^2 + 3s + 2}{s^2 + 5s + 6} = \frac{s+1}{s+3} = \frac{Y(s)}{F(s)},$$

$$sY(s) + 3Y(s) = sF(s) + F(s), \quad y'(t) + 3y(t) = f'(t) + f(t)。$$

$$(2) Y_{zs}(s) = F(s)H(s) = \frac{6s+3}{s(s+1)} \cdot \frac{s+1}{s+3} = \frac{6s+3}{s(s+3)} = \frac{1}{s} + \frac{5}{s+3}, \quad y_{zs}(t) = (1 + 5e^{-3t})\varepsilon(t),$$

$$y_{zi}(t) = y(t) - y_{zs}(t) = (4e^{-2t} - 2e^{-3t})\varepsilon(t)$$

$$(3) y(0_-) = y_{zi}(0_-) = y_{zi}(0_+) = 2,$$

$$y'(0_-) = y'_{zi}(0_+) = -2。$$

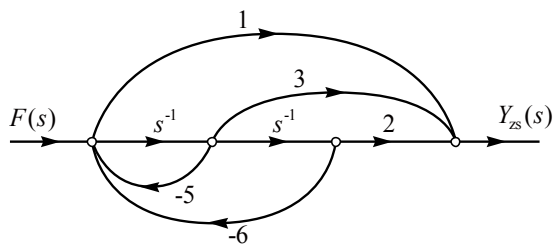


图 17

**41** LTI 离散系统差分方程为:  $y(k+2)-3y(k+1)+2y(k)=f(k+1)-2f(k)$ , 并知  $f(k)=\varepsilon(k)$ ,  $y(0)=1$ ,  $y(1)=1$ 。(1) 求全响应  $y(k)$ ; (2) 画出系统的一种模拟流程图。

解: (1)  $z$  变换:  $z^2Y(z)-z^2y(0)-zy(1)-3zY(z)+3zy(0)+2Y(z)=zF(z)-zf(0)-2F(z)$ ,

$$\text{代入解得 } Y(z) = \frac{z}{(z-1)^2} + \frac{2z}{z-1} - \frac{z}{z-2}, \quad y(k) = (k+2-2^k)\varepsilon(k)。$$

$$(2) H(z) = \frac{Y_{zs}(z)}{F(z)} = \frac{z-2}{z^2-3z+2} = \frac{z^{-1}-2z^{-2}}{1-3z^{-1}+2z^{-2}}, \quad \text{见图 18。}$$

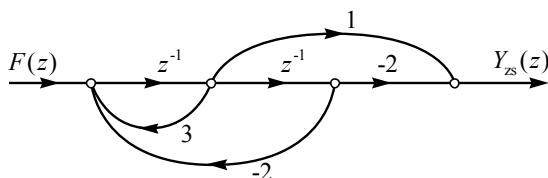


图 18

**42** 如图 19 的 LTI 连续复合系统, 已知  $h_1(t) = \frac{d}{dt}[\frac{\sin(2t)}{2\pi t}]$ ,  $H_2(j\omega) = e^{-j\pi\omega}$ ,  $h_3(t) = \varepsilon(t)$ ,  $h_4(t) = \frac{\sin(6t)}{\pi t}$ 。  
求: (1) 复合系统的  $H(j\omega)$  和  $h(t)$ ; (2) 若输入  $f(t) = \sin(4t) + \cos t$ , 求  $y_{zs}(t)$ ; (3) 求  $y_{zs}(t)$  的功率。

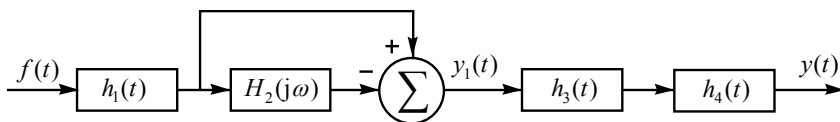


图 19

解: (1)  $\frac{\sin(2t)}{2\pi t} \leftrightarrow \frac{1}{2}g_4(\omega)$ ,  $H_1(j\omega) = \frac{1}{2}j\omega g_4(\omega)$ ,  $H_3(j\omega) = \pi\delta(\omega) + \frac{1}{j\omega}$ ,  $H_4(\omega) = g_{12}(\omega)$ ,

$$Y_1(j\omega) = F(j\omega)H_1(j\omega) - F(j\omega)H_1(j\omega)H_2(j\omega) = (1 - e^{-j\pi\omega})\frac{1}{2}j\omega g_4(\omega)F(j\omega),$$

$$Y_{zs}(\omega) = Y_1(j\omega)H_3(j\omega)H_4(j\omega) = (1 - e^{-j\pi\omega})\frac{1}{2}g_4(\omega)F(j\omega),$$

$$\therefore H(j\omega) = (1 - e^{-j\pi\omega})\frac{1}{2}g_4(\omega) = \frac{1}{2}g_4(\omega) - \frac{1}{2}g_4(\omega)e^{-j\pi\omega},$$

$$\therefore h(t) = \frac{1}{\pi}\text{Sa}(2t) - \frac{1}{\pi}\text{Sa}[2(t-\pi)] = \frac{\sin 2t}{2\pi t} - \frac{\sin 2(t-\pi)}{2\pi(t-\pi)}。$$

(2)  $\sin 4t$  被  $g_4(\omega)$  滤掉, 剩  $\cos t$ ,  $H(j1) = \frac{1}{2}(1 - e^{-j\pi}) = 1\angle 0^\circ$ ,  $\therefore y_{zs}(t) = \cos t$ 。

$$(3) P = \frac{1}{2} \text{ W} \quad (\text{注: } \frac{1}{2\pi} \int_{-\pi}^{\pi} \cos^2 t \, dt)$$

**43** 如图 20 (a), 已知  $u_C(0_-) = 8\text{V}$ ,  $i_L(0_-) = 4\text{A}$ ,  $t=0$  时  $s$  闭合。

(1) 画  $s$  域电路模型; (2) 求  $t \geq 0$  时全响应  $i_1(t)$ 。

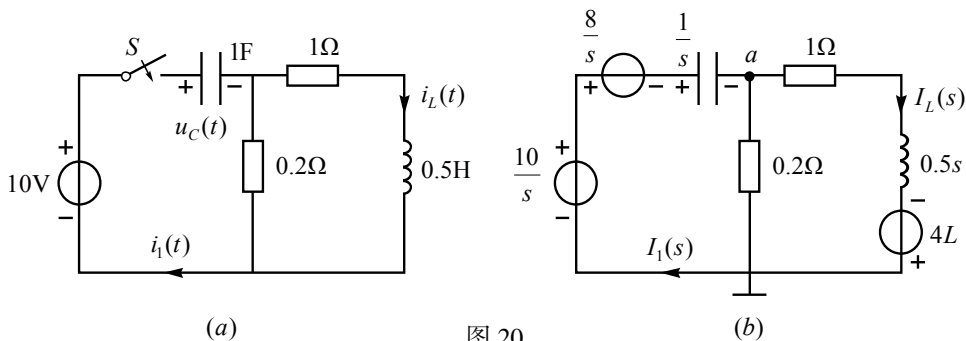


图 20

解: (1) 见图 20 (b)

(2) 列  $a$  点节点方程:  $(s + \frac{1}{0.2} + \frac{1}{1+0.5s})U_a(s) = 2 - \frac{2}{1+0.5s}$ , 解得  $U_a(s) = \frac{2s}{s^2 + 7s + 12}$ ,

$$I_1(s) = \frac{\frac{10}{s} - \frac{8}{s} - U_a(s)}{1/s} = 2 - sU_a(s) = \frac{14s + 24}{(s+3)(s+4)} = \frac{-18}{s+3} + \frac{32}{s+4}, \therefore i_1(t) = (-18e^{-3t} + 32e^{-4t})\varepsilon(t)\text{A}$$

**44**  $f(t) = e^{-3t}\varepsilon(t+2)$ , 求  $F(j\omega)$ 。

解:  $e^{-3t}\varepsilon(t) \leftrightarrow \frac{1}{j\omega + 3}$ ,  $e^{-3(t+2)}\varepsilon(t+2) \leftrightarrow \frac{e^{j2\omega}}{j\omega + 3}$ ,  $e^{-3t}\varepsilon(t+2) \leftrightarrow \frac{e^{j2\omega+6}}{j\omega + 3}$ 。

**45** 如图 21 所示电路,  $i_1(t)$  为输入,  $u_2(t)$  为输出,  $H(s) = \frac{s^2}{s^2 + 3s + 1}$ , 求电容  $C$ 。

解: 零状态时,  $U_2(s) = \frac{sL}{sL + 1/sC + 1} \cdot I_1(s)$ ,

$$\therefore H(s) = \frac{s^2L}{s^2L + 1/C + s} = \frac{s^2}{s^2 + 1/LC + s/L}, \therefore C = 3\text{F}。$$

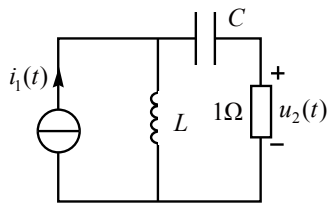


图 21

**46** LTI 离散系统单位脉冲响应  $h(k) = \delta(k) + 2\delta(k-1) + 3\delta(k-2)$ ,

系统输入  $f(k) = 3\delta(k) - 2\delta(k-1) + \delta(k-2)$  求  $y_z(2)$ 。

解:  $y_z(2) = 6$ 。解析:  $y_z(k) = f(k) * h(k) = \sum_{i=-\infty}^{\infty} f(k-i)h(i)$ , 画图即可。

**47** 已知  $F(j\omega) = \varepsilon(\omega-2) - \varepsilon(\omega-4)$ , 求  $f(t)$ 。

解:  $F(j\omega) = g_2(\omega-3)$ , 由  $g_2(t) \leftrightarrow 2\text{Sa}(\omega) \Rightarrow \frac{1}{\pi}\text{Sa}(t) \leftrightarrow g_2(\omega) \Rightarrow \frac{1}{\pi}\text{Sa}(t)e^{j3t} \leftrightarrow g_2(\omega-3)$ ,

$$\therefore f(t) = \frac{\sin t}{\pi t} e^{j3t}。$$

**48** LTI 连续系统, 初始状态一定, 当输入  $f_1(t) = \delta(t)$  时, 全响应  $y_1(t) = -3e^{-t}\varepsilon(t)$ ,  $f_2(t) = \varepsilon(t)$  时, 全响应  $y_2(t) = \varepsilon(t) - 5e^{-t}\varepsilon(t)$ , 求当  $f_3(t) = 5e^{-2t}\varepsilon(t)$  时, 全响应  $y_3(t)$ 。

解:  $y_1(t) = y_{zi}(t) + h(t)$  ①,  $y_2(t) = y_{zi}(t) + h(t) * \varepsilon(t)$  ②, ②-① 得  $h(t) * \varepsilon(t) - h(t) = \varepsilon(t) - 2e^{-t}\varepsilon(t)$ ,

$$H(s) \cdot \frac{1}{s} - H(s) = \frac{1}{s} - \frac{2}{s+1}, \therefore H(s) = \frac{1}{s+1}, \therefore h(t) = e^{-t}\varepsilon(t), \therefore y_{zi}(t) = -4e^{-t}\varepsilon(t), \therefore Y_{zi}(s) = \frac{-4}{s+1},$$

$$Y_3(s) = Y_{zi}(s) + F_3(s) \cdot H(s) = \frac{-4}{s+1} + \frac{5}{s+2} \cdot \frac{1}{s+1} = \frac{1}{s+1} - \frac{5}{s+2}, \therefore y_3(t) = (e^{-t} - 5e^{-2t})\varepsilon(t)。$$

**49** 图 22 所示系统, 已知输入  $f(t) = \frac{\sin 2t}{\pi t}$ , 子系统频率响应  $H_1(j\omega) = j\operatorname{sgn}(\omega)$ 。

(1) 试画出  $F(j\omega)$ ,  $Y_1(j\omega)$ ,  $Y_3(j\omega)$  及  $Y(j\omega)$  的图形; (2) 求输出  $y(t)$ 。

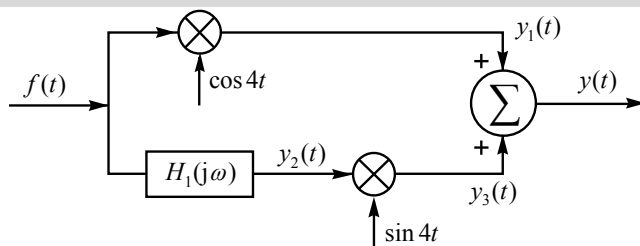


图 22

解: (1)  $F(j\omega) = g_4(\omega)$ ,  $\cos 4t \leftrightarrow \pi[\delta(\omega+4) + \delta(\omega-4)]$ ,

$$Y_1(j\omega) = \frac{1}{2\pi} g_4(\omega) * \pi[\delta(\omega+4) + \delta(\omega-4)] = \frac{1}{2}[g_4(\omega+4) + g_4(\omega-4)],$$

$$Y_2(j\omega) = F(j\omega)H_1(j\omega) = j\operatorname{sgn}(\omega)g_4(\omega),$$

$$\sin 4t \leftrightarrow j\pi[\delta(\omega+4) - \delta(\omega-4)], \quad Y_3(j\omega) = \frac{1}{2\pi} \cdot j\operatorname{sgn}(\omega)g_4(\omega) * j\pi[\delta(\omega+4) - \delta(\omega-4)]$$

$$= -\frac{1}{2}[\operatorname{sgn}(\omega+4)g_4(\omega+4) - \operatorname{sgn}(\omega-4)g_4(\omega-4)] = \frac{1}{2}[\operatorname{sgn}(\omega-4)g_4(\omega-4) - \operatorname{sgn}(\omega+4)g_4(\omega+4)],$$

$$Y(j\omega) = Y_1(j\omega) + Y_3(j\omega) = g_2(\omega+5) + g_2(\omega-5)。图形见图 23。$$

$$(2) \text{由 } \frac{1}{\pi}\operatorname{Sa}(t) \leftrightarrow g_2(\omega) \text{ 得 } \frac{1}{\pi}\operatorname{Sa}(t)[e^{j5t} + e^{-j5t}] \leftrightarrow Y(j\omega), \therefore y(t) = \frac{2\sin t \cos 5t}{\pi t}。$$

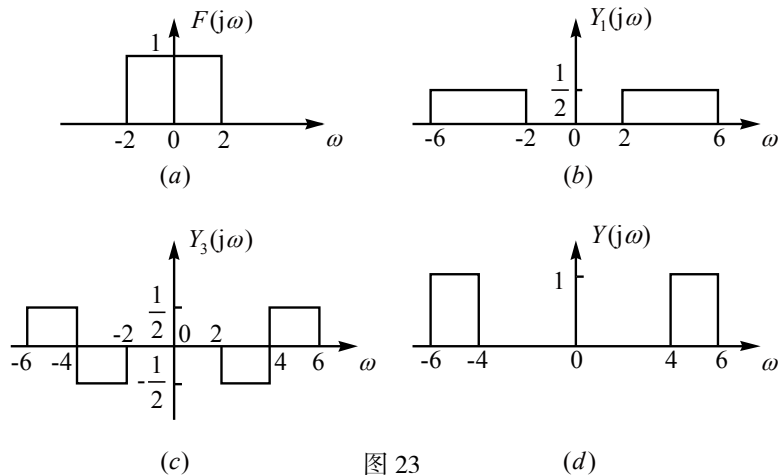


图 23

**50** 因果离散系统的差分方程： $y(k)-3y(k-1)+2y(k-2)=f(k-1)-2f(k-2)$ ，已知  $y(-1)=1.5$ ， $y(-2)=1.75$ 。(1)求  $y_z(k)$ ；(2)求  $g(k)$ 。

解：(1)  $z$  变换： $Y_z(z)-3z^{-1}Y_z(z)-3y(-1)+2z^{-2}Y_z(z)+2z^{-1}y(-1)+2y(-2)=0$ ，

$$\text{整理得 } Y_z(z) = \frac{z^2-3z}{z^2-3z+2} = \frac{2z}{z-1} - \frac{z}{z-2}, \quad \therefore y_z(k) = (2-2^k)\varepsilon(k)。$$

$$(2) z \text{ 变换: } Y_{zs}(k)-3z^{-1}Y_{zs}(k)+2z^{-2}Y_{zs}(k)=(z^{-1}-2z^{-2})F(z), \quad G(z)=\frac{z^{-1}-2z^{-2}}{1-3z^{-1}+2z^{-2}} \cdot \frac{z}{z-1} = \frac{z}{(z-1)^2},$$

$$\therefore y(k)=k\varepsilon(k)。【注：k\varepsilon(k) \leftrightarrow \frac{z}{(z-1)^2}, z \text{ 域微分，序列乘 } k: k\varepsilon(k) = -z \frac{d}{dz}(\frac{z}{z-1})】$$

**51** 某连续系统的系统函数  $H(s)$  的零极点分布如图 24，且已知  $H(\infty)=1$ ，求  $g(t)$ 。

解：设  $H(s)=A \cdot \frac{s+2}{s}$ ，由  $H(\infty)=1$  得  $A=1$ ，

$$\therefore H(s) = \frac{s+2}{s}, \quad G(s) = \frac{s+2}{s^2} = \frac{1}{s} + \frac{2}{s^2}, \quad \therefore g(t) = (1+2t)\varepsilon(t)。$$

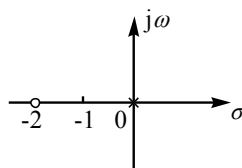


图 24

**52** 已知  $F(j\omega)=2\varepsilon(1-\omega)$ ，求  $f(t)$ 。

解： $\varepsilon(t) \leftrightarrow \pi\delta(\omega) + \frac{1}{j\omega}$ ， $\pi\delta(t) + \frac{1}{jt} \leftrightarrow 2\pi\varepsilon(-\omega)$ ，

$$[\delta(t) + \frac{1}{j\pi t}]e^{jt} \leftrightarrow 2\varepsilon[-(\omega-1)], \quad \therefore f(t) = \delta(t) + \frac{1}{j\pi t}e^{jt}。$$

**53** 某 LTI 系统的频率响应  $H(j\omega) = \begin{cases} 1-\frac{|\omega|}{3}, & |\omega| < 3\text{rad/s} \\ 0, & |\omega| > 3\text{rad/s} \end{cases}$ ，若输入  $f(t) = \sum_{n=-\infty}^{\infty} 3e^{j\frac{\pi}{2}n} \cdot e^{jn\Omega t}$ ，其中

$\Omega = 1\text{rad/s}$ ，求系统的输出。

解： $f(t) = \frac{A_0}{2} + \sum_{n=1}^{\infty} A_n \cos(n\Omega t + \varphi_n)$ ， $F_n = \frac{1}{T} \int_{-\frac{T}{2}}^{\frac{T}{2}} f(t)e^{-jn\Omega t} dt$ ，

$$F_0 = \frac{A_0}{2} = 3\angle 0^\circ, \quad F_1 = 3e^{j\frac{\pi}{2}} = 3\angle \frac{\pi}{2}, \quad F_{-1} = 3\angle -\frac{\pi}{2},$$

$$F_2 = 3e^{j\pi} = 3\angle \pi, \quad F_{-2} = 3\angle -\pi,$$

$$Y(j\omega) = Y(j0) + Y(j1) + Y(j2) + Y[j(-1)] + Y[j(-2)] = 3\angle 0^\circ + \frac{2}{3} \times 3(e^{j\frac{\pi}{2}} + e^{-j\frac{\pi}{2}}) + \frac{1}{3} \times 3(e^{j\pi} + e^{-j\pi}),$$

$$y(t) = 3 + 4\cos(t + \frac{\pi}{2}) + 2\cos(2t + \pi)。$$

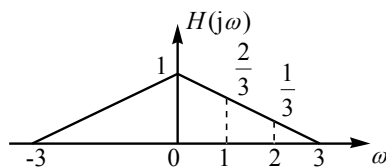


图 25



**54** 因果离散 LTI 系统框图如图 26, 若输入  $f(k) = 5 + 10\cos(\frac{\pi}{2}k + 16.9^\circ)$ , 求稳态响应  $y_s(k)$ 。

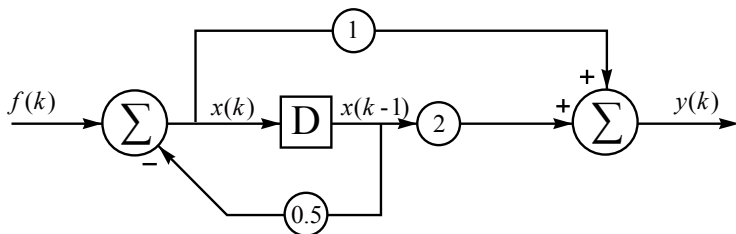


图 26

解: 由框图得  $y(k) = 0.5y(k-1) = f(k) + 2f(k-1)$ ,  $\therefore H(z) = \frac{z+2}{z+0.5}$ , 极点在单位圆内, 系统稳定。

$$H(e^{j\theta}) = \frac{e^{j\theta} + 2}{e^{j\theta} + 0.5}, \text{ 由 } f(k) \text{ 含直流及 } \theta = \frac{\pi}{2}, H(e^{j\theta}) = 2\angle 0^\circ, H(e^{j\frac{\pi}{2}}) = \frac{j+2}{j+0.5} = 2\angle -36.9^\circ,$$

$$\therefore y_s(k) = 10 + 20\cos(\frac{\pi}{2}k - 20^\circ)$$

**55** 因果信号  $f(t)$  满足  $f(t) - \int_0^t \sin(t-\tau)\varepsilon(t-\tau)f(\tau)d\tau = \sin t\varepsilon(t)$ , 求  $f(t)$ 。

解: 将上式写为:  $f(t) - \sin t\varepsilon(t) * f(t)\varepsilon(t) = \sin t\varepsilon(t)$ , 拉普拉斯变换:  $F(s) - \frac{1}{s^2+1} \cdot F(s) = \frac{1}{s^2+1}$ ,

$$\text{得 } F(s) = \frac{1}{s^2}, \therefore f(t) = t\varepsilon(t)。$$

**56** 求证  $-\frac{1}{\pi t} * \frac{1}{\pi t} = \delta(t)$ 。

证明:  $\text{sgn}(t) \leftrightarrow \frac{2}{j\omega}, \frac{1}{\pi t} \leftrightarrow j\text{sgn}(\omega) \Rightarrow -\frac{1}{\pi t} * \frac{1}{\pi t} \leftrightarrow \text{sgn}^2(\omega) = 1$ , 而  $\delta(t) \leftrightarrow 1$ 。

**57** — LTI 系统零状态响应  $y_{zs}(t)$  与输入  $f(t)$  关系为  $y_{zs}(t) = \int_{t-1}^{\infty} e^{2(t-\tau)} f(2-\tau)d\tau$ 。

(1) 求  $h(t)$ , 判别是否为因果系统; (2) 该系统是否稳定? 写出判别过程。

解: (1)  $h(t) = \int_{t-1}^{\infty} e^{2(t-\tau)} \delta(2-\tau)d\tau = \int_{t-1}^{\infty} e^{2(t-2)} \delta(\tau-2)d\tau$

$$= e^{2(t-2)} \left[ \int_{-\infty}^{\infty} \delta(\tau-2)d\tau - \int_{-\infty}^{t-1} \delta(\tau-2)d\tau \right] = e^{2(t-2)} [1 - \varepsilon(t-3)] = e^{2(t-2)} \varepsilon(-t+3)$$

$\therefore t < 0$  时  $h(t) \neq 0$ ,  $\therefore$  非因果系统。

$$(2) \int_{-\infty}^{\infty} |h(t)| dt = \int_{-\infty}^{\infty} e^{2(t-2)} \varepsilon(-t+3) dt = \int_{-\infty}^3 e^{2(t-2)} dt = \frac{1}{2} e^2 < \infty, \therefore \text{稳定}。$$

注: 判断是否稳定  $\Leftrightarrow$  冲激响应积分是否有限

**58** 已知  $\frac{dy^3(t)}{dt^3} + 2\frac{dy^2(t)}{dt^2} + 3\frac{dy(t)}{dt} + 4y(t) = f(t)$ ，选状态变量为  $x_1(t) = y(t)$ ， $x_2(t) = \frac{dy(t)}{dt} + 2y(t)$ ， $x_3(t) = \frac{dy^2(t)}{dt^2} + 2\frac{dy(t)}{dt} + 3y(t)$ 。

(1) 试列出状态方程和输出方程；(2) 画出模拟框图，标出状态变量。

解：(1)  $\dot{x}_3(t) = f(t) - 4x_1(t)$ ， $\dot{x}_2(t) = x_3(t) - 3x_1(t)$ ， $\dot{x}_1(t) = x_2(t) - 2x_1(t)$ ，

$$\therefore \begin{bmatrix} \dot{x}_1(t) \\ \dot{x}_2(t) \\ \dot{x}_3(t) \end{bmatrix} = \begin{bmatrix} -2 & 1 & 0 \\ -3 & 0 & 1 \\ -4 & 0 & 0 \end{bmatrix} \begin{bmatrix} x_1(t) \\ x_2(t) \\ x_3(t) \end{bmatrix} + \begin{bmatrix} 0 \\ 0 \\ 1 \end{bmatrix} f(t), \quad y(t) = [1 \quad 0 \quad 0] \begin{bmatrix} x_1(t) \\ x_2(t) \\ x_3(t) \end{bmatrix}$$

(2) 见图 27。

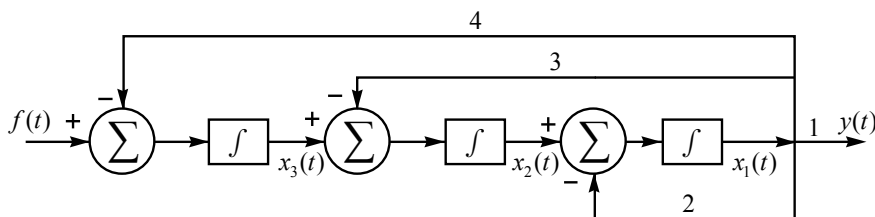


图 27

**59** 如图 28 所示电路， $u_s(t) = 10\sqrt{2} \cos(\sqrt{2}t) \text{ V}$ ，

$i_s(t) = e^{-2t} \varepsilon(t) \text{ A}$ ，求零状态响应  $u_{zs}(t)$ 。

解：使用叠加定理，画  $s$  域电路图并令  $s = j\omega$ ，则

如图 29。

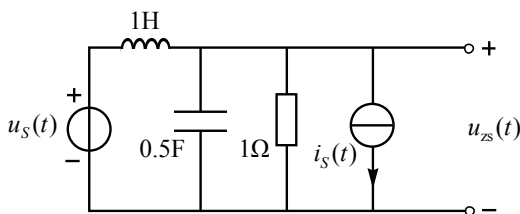


图 28

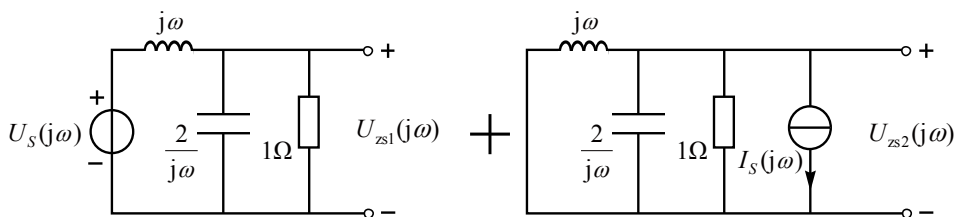


图 29

$$U_{zs1}(j\omega) = \frac{1/(2/j\omega)}{j\omega + 1/(2/j\omega)} \cdot U_s(j\omega) = \frac{2}{-\omega^2 + 2j\omega + 2} \cdot 10\sqrt{2}\pi[\delta(\omega + \sqrt{2}) + \delta(\omega - \sqrt{2})]$$

$$= 10j\pi[\delta(\omega + \sqrt{2}) - \delta(\omega - \sqrt{2})], \quad \therefore u_{zs1}(t) = 10 \sin(\sqrt{2}t) \text{ V} = 10 \cos(\sqrt{2}t - 90^\circ) \text{ V}, \quad I_s(j\omega) = \frac{1}{j\omega + 2},$$

$$U_{zs2}(j\omega) = -(j\omega // \frac{2}{j\omega} // 1) \cdot I_s(j\omega) = -\frac{j2\omega}{(j\omega)^2 + j2\omega + 2} \times \frac{1}{j\omega + 2} = -\frac{1}{j(\omega + 1) + 1} - \frac{1}{j(\omega - 1) + 1} + \frac{2}{j\omega + 2},$$

$$u_{zs2}(t) = -e^{-t}e^{-jt}\varepsilon(t) - e^{-t}e^{jt}\varepsilon(t) + 2e^{-2t}\varepsilon(t) = 2(e^{-2t} - e^{-t}\cos t)\varepsilon(t), \quad \therefore u_{zs}(t) = u_{zs1}(t) + u_{zs2}(t) = (\text{略})$$

**60** 如图 30 (a),  $f(t) = 2e^{-2t}\varepsilon(t)$  时全响应  $y(t) = (3e^{-3t} - 12e^{-2t} + 4e^{-t})\varepsilon(t)$ 。(1)求  $a, b, c$ ; (2)求  $y_{zi}(t)$ 。

解: (1) 画  $s$  域框图如图 30 (b), 由梅森公式得:

$$H(s) = \frac{1 + cs^{-2}}{1 + as^{-1} + bs^{-2}} = \frac{s^2 + c}{s^2 + as + b} = \frac{Y_{zs}(s)}{F(s)} = \frac{Y(s) - Y_{zi}(s)}{F(s)} = \frac{\frac{3}{s+3} - \frac{12}{s+2} + \frac{4}{s+1} - Y_{zi}(s)}{2/(s+2)}$$

$$\text{极点 } -1, -3, \therefore \text{分母为 } s^2 + 4s + 3, \therefore a = 4, b = 3, H(s) = \frac{s^2 + c}{s^2 + 4s + 3},$$

$$Y_{zs}(s) = F(s)H(s) = \frac{2(s^2 + c)}{(s+1)(s+2)(s+3)}, \because F(s) = \frac{2}{s+2}, \text{ 设强迫响应象函数为 } Y_p(s) = \frac{K_p}{s+2},$$

$$K_p = -8 - 2c, \text{ 而 } y_p(t) = -12e^{-2t}, \therefore Y_p(s) = \frac{-12}{s+2}, \therefore -8 - 2c = -12, \therefore c = 2。$$

$$(2) Y_{zs}(s) = \frac{2(s^2 + 2)}{(s+1)(s+2)(s+3)} = \frac{3}{s+1} - \frac{12}{s+2} + \frac{11}{s+3}, \therefore y_{zs}(t) = (3e^{-t} - 12e^{-2t} + 11e^{-3t})\varepsilon(t),$$

$$\therefore y_{zi}(t) = y(t) - y_{zs}(t) = (e^{-t} - 8e^{-3t})\varepsilon(t)$$

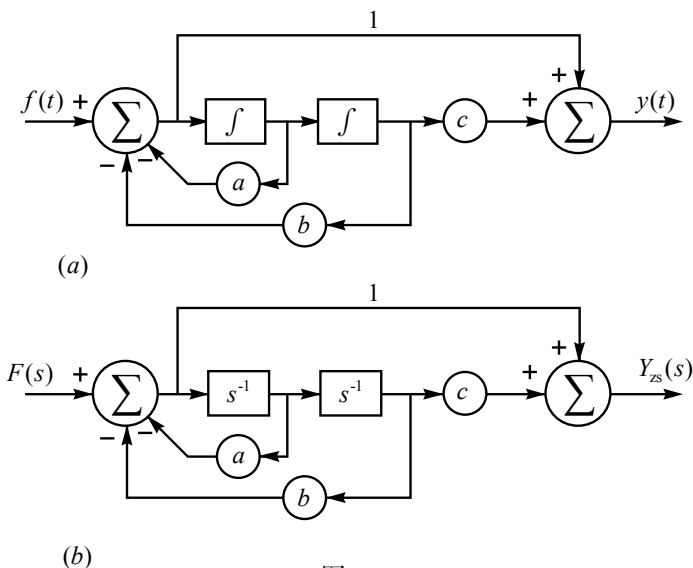


图 30

**61** 求证  $\int_{-\infty}^{\infty} \frac{\sin(\omega t)}{\omega} d\omega = \pi \operatorname{sgn}(t)$ 。

证明:  $\pi \operatorname{sgn}(t) \leftrightarrow \frac{2\pi}{j\omega}$ , 由傅里叶逆变换得下式, 下式第二项为 0 (奇函数), 即得证。

$$\pi \operatorname{sgn}(t) = \frac{1}{2\pi} \int_{-\infty}^{\infty} \frac{2\pi}{j\omega} e^{j\omega t} d\omega = \int_{-\infty}^{\infty} \frac{1}{j\omega} [j\sin(\omega t) + \cos(\omega t)] d\omega = \int_{-\infty}^{\infty} \frac{\sin(\omega t)}{\omega} d\omega + \int_{-\infty}^{\infty} \frac{\cos(\omega t)}{j\omega} d\omega$$

**62** LTI 连续系统阶跃响应为  $g(t)=[1-e^{-(t+1)}]\varepsilon(t+1)$ ,  $f(t)$  如图 31 (a), 求  $y_{zs}(t)$  并画出波形。

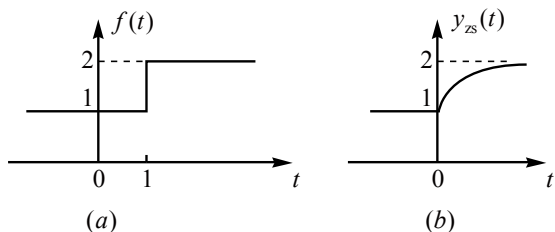


图 31

解:  $h(t) = \frac{dg(t)}{dt} = e^{-(t+1)}\varepsilon(t+1)$ ,  $H(j\omega) = \frac{e^{j\omega}}{j\omega+1}$ ,  $f(t) = 1 + \varepsilon(t-1)$ ,

$$F(j\omega) = 2\pi\delta(\omega) + [\pi\delta(\omega) + \frac{1}{j\omega}]e^{-j\omega} = 3\pi\delta(\omega) + \frac{e^{-j\omega}}{j\omega},$$

$$\therefore Y_{zs}(j\omega) = F(j\omega)H(j\omega) = 3\pi\delta(\omega) + \frac{1}{j\omega} - \frac{1}{j\omega+1},$$

$$\therefore y_{zs}(t) = \frac{3}{2} + \varepsilon(t) - e^{-t}\varepsilon(t) = \frac{3}{2} + (1 - e^{-t})\varepsilon(t), \text{ 波形见图 31 (b).}$$

**63** 某连续因果系统如图 32。

- (1) 试求  $H(s)$ , 并标明收敛域, 判断系统稳定性;
- (2) 试求该系统的冲激响应  $h(t)$ ;
- (3) 写出描述该系统的微分方程;
- (4) 若输入  $f(t) = e^{-2t}\varepsilon(t)$ , 求  $y_{zs}(t)$ 。

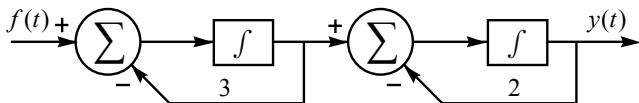


图 32

解: (1) 由梅森公式,  $H(s) = \frac{s^{-1}}{1+3s^{-1}} \times \frac{s^{-1}}{1+2s^{-1}} = \frac{1}{(s+2)(s+3)}$ , 收敛域  $\text{Re}[s] > -2$ , 两个极点均在左半平面, 系统稳定。

$$(2) H(s) = \frac{1}{s+2} - \frac{1}{s+3}, \therefore h(t) = (e^{-2t} - e^{-3t})\varepsilon(t).$$

$$(3) H(s) = \frac{1}{s^2 + 5s + 6} = \frac{Y_{zs}(s)}{F(s)}, \therefore \text{微分方程为 } y''(t) + 5y'(t) + 6y(t) = f(t).$$

$$(4) F(s) = \frac{1}{s+2}, Y_{zs}(s) = \frac{1}{(s+2)^2(s+3)} = \frac{1}{(s+2)^2} + \frac{-1}{s+2} + \frac{1}{s+3}, \therefore y_{zs}(t) = [(t-1)e^{-2t} + e^{-3t}]\varepsilon(t).$$

**64** 在图 33 (a) 所示的系统中, 已知  $f(t)$  的频谱  $F(j\omega)$  如图 33 (b), 其中子系统  $H_1(j\omega) = -j\text{sgn}(\omega)$ , 且  $\omega_0 \gg \omega_m$ 。

(1) 试分别画出  $f_1(t)$ ,  $f_2(t)$ ,  $y(t)$  的频谱图;

(2) 可以从  $y(t)$  中恢复出  $f(t)$  吗? 如果可以, 设计一个由  $y(t)$  恢复  $f(t)$  的系统。

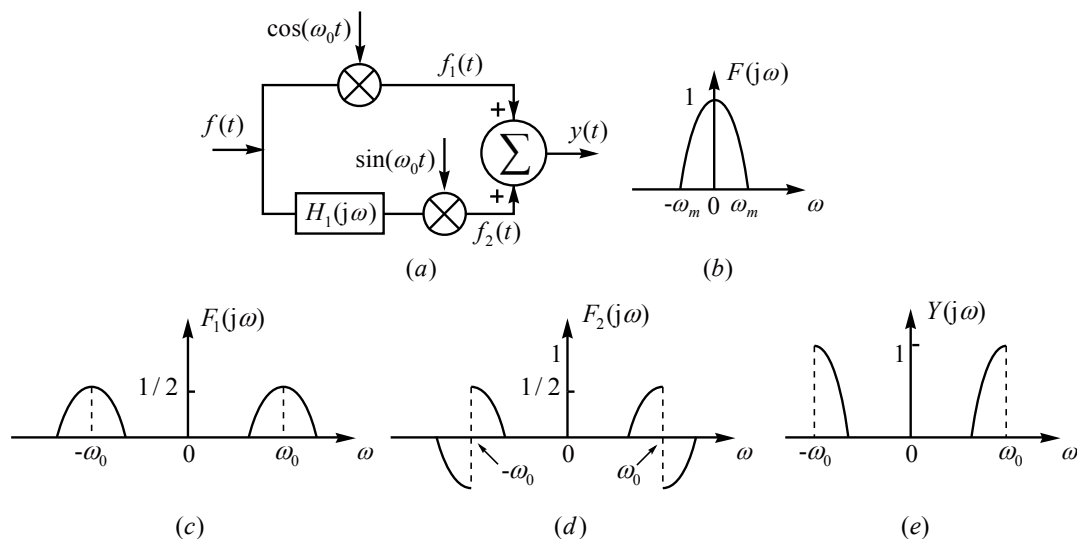


图 33

解: (1)  $f_1(t) = f(t) \cos(\omega_0 t) \leftrightarrow \frac{1}{2\pi} F(j\omega) * \pi[\delta(\omega + \omega_0) + \delta(\omega - \omega_0)] = \frac{1}{2} F[j(\omega + \omega_0)] + \frac{1}{2} F[j(\omega - \omega_0)]$

$$F_2(j\omega) = F(j\omega) H_1(j\omega) * \frac{1}{2\pi} \times j\pi[\delta(\omega + \omega_0) - \delta(\omega - \omega_0)]$$

$$= \frac{1}{2} F[j(\omega + \omega_0)] \text{sgn}(\omega + \omega_0) - \frac{1}{2} F[j(\omega - \omega_0)] \text{sgn}(\omega - \omega_0)$$

$$Y(j\omega) = F_1(j\omega) + F_2(j\omega), \text{ 频谱图见图 33 (c)(d)(e).}$$

(2) 可以, 见图 34。

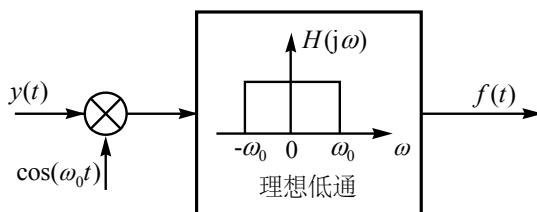


图 34

**65**  $y''(t) + 3y'(t) + 2y(t) = f'(t) + 4f(t)$ 

(1) 已知  $f(t) = \delta'(t)$ ,  $y(0_-) = 0$ ,  $y'(0_-) = 1$ , 求  $y_{zi}(t)$  和  $y_{zs}(t)$  ( $t \geq 0$ );

(2) 画出直接形式信号流图, 列状态方程和输出方程;

(3)  $f(t) = 2 + \sqrt{85} \cos(4t + 45^\circ)$ , 求稳态响应  $y_s(t)$  ( $t > -\infty$ )。

解: (1) 取拉普拉斯变换:  $s^2 Y(s) + 3sY(s) - sy(0_-) - y'(0_-) - 3y(0_-) + 2Y(s) = sF(s) + 4F(s)$ ,

$$Y(s) = \frac{1}{(s+1)(s+2)} + \frac{s+4}{(s+1)(s+2)} F(s), \quad Y_{zi}(s) = \frac{1}{(s+1)(s+2)} = \frac{1}{s+1} - \frac{1}{s+2},$$

$$\therefore y_{zi}(t) = (e^{-t} - e^{-2t})\varepsilon(t), \quad Y_{zs}(s) = \frac{s^2 + 4s}{s^2 + 3s + 2} = 1 - \frac{3}{s+1} + \frac{4}{s+2}, \quad \therefore y_{zs}(t) = \delta(t) - (3e^{-t} - 4e^{-2t})\varepsilon(t).$$

$$(2) H(s) = \frac{s+4}{s^2 + 3s + 2} = \frac{s^{-1} + 4s^{-2}}{1 + 3s^{-1} + 2s^{-2}}, \quad \text{信号流图如图 35,}$$

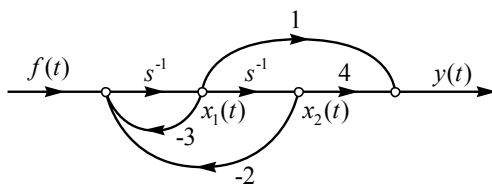


图 35

$$\dot{x}_1(t) = f(t) - 3x_1(t) - 2x_2(t), \quad \dot{x}_2(t) = x_1(t), \quad y(t) = x_1(t) + 4x_2(t),$$

$$\text{状态方程} \begin{bmatrix} \dot{x}_1(t) \\ \dot{x}_2(t) \end{bmatrix} = \begin{bmatrix} -3 & -2 \\ 1 & 0 \end{bmatrix} \begin{bmatrix} x_1(t) \\ x_2(t) \end{bmatrix} + \begin{bmatrix} 1 \\ 0 \end{bmatrix} f(t), \quad \text{输出方程} y(t) = [1 \quad 4] \begin{bmatrix} x_1(t) \\ x_2(t) \end{bmatrix}.$$

(3)  $H(s)$  两个极点  $\lambda_1 = -1$ ,  $\lambda_2 = -2$  均在  $s$  左半开平面,  $\therefore$  该因果连续系统存在。

$$\text{频率响应函数} H(j\omega) = \frac{j\omega + 4}{(j\omega)^2 + 3j\omega + 2}, \quad f(t) \text{ 含 } \omega = 0 \text{ 和 } \omega = 4 \text{ 两个分量,}$$

$$H(0) = 2, \quad H(4) = \frac{j4 + 4}{-14 + j12} = 0.3077 \angle -94.4^\circ,$$

$$y_s(t) = 2 \times 2 + \sqrt{85} \times 0.3077 \cos(4t + 45^\circ - 94.4^\circ) = 4 + 2.84 \cos(4t - 49.4^\circ).$$

**66** 图 36 (a) 为频谱压缩系统原理框图, 已知周期信号  $f(t) = \sum_{n=-2}^2 F_n e^{jn\Omega t}$ ,  $T_s = \frac{2\pi}{\omega_s}$ ,  $\delta_{T_s} = \sum_{m=-\infty}^{\infty} \delta(t - mT_s)$ ,  $\omega_s = \frac{\Omega}{10.025}$ ,  $H(j\omega)$  如图 36 (b), 求证  $y(t) = f(at)$ , 并确定压缩比  $a$  的值。

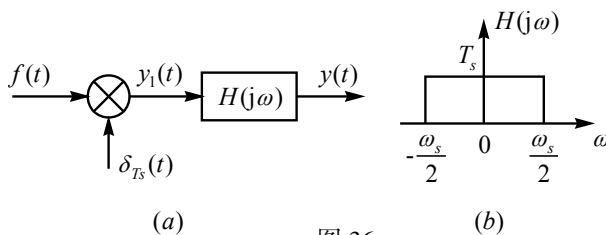


图 36

证明:  $f(t) \leftrightarrow 2\pi \sum_{n=-2}^2 F_n \delta(\omega - n\Omega)$ ,  $\delta_{T_s}(t) \leftrightarrow \frac{2\pi}{T_s} \sum_{m=-\infty}^{\infty} \delta(\omega - m\omega_s) = \omega_s \sum_{m=-\infty}^{\infty} \delta(\omega - m\omega_s)$ ,

$$\begin{aligned} \text{乘法器输出 } Y_1(j\omega) &= \frac{1}{2\pi} \cdot 2\pi \cdot \omega_s \sum_{n=-2}^2 F_n \delta(\omega - n\Omega) * \sum_{m=-\infty}^{\infty} \delta(\omega - m\omega_s) \\ &= \frac{2\pi}{T_s} \cdot \sum_{n=-2}^2 \sum_{m=-\infty}^{\infty} F_n \delta(\omega - n\Omega - m\omega_s) = \frac{2\pi}{T_s} \cdot \sum_{n=-2}^2 \sum_{m=-\infty}^{\infty} F_n \delta[\omega - (10.025n + m)\omega_s] \end{aligned}$$

$Y_1(j\omega)$  经过  $H(j\omega)$  只有满足  $|10.025n + m| \leq \frac{1}{2}$  ① 时才有输出,

当  $n = 0, \pm 1, \pm 2$  对应  $m = 0, \mp 10, \mp 20$  时, 即  $m = -10n$  ② 时满足①,

$$\text{所以 } Y(j\omega) = Y_1(j\omega)H(j\omega) = T_s G_{\omega_s}(\omega) \cdot Y_1(j\omega) = 2\pi G_{\omega_s}(\omega) \sum_{n=-2}^2 \sum_{m=-\infty}^{\infty} F_n \delta[\omega - (10.025n + m)\omega_s],$$

$$\text{由约束条件, 改写上式: } Y(j\omega) = 2\pi \sum_{n=-2}^2 F_n \delta(\omega - 0.025n\omega_s) = 2\pi \sum_{n=-2}^2 F_n \delta(\omega - \frac{1}{401}n\Omega)$$

$$\therefore y(t) = \sum_{n=-2}^2 F_n e^{jn\Omega at}, \quad a = \frac{1}{401} \text{ 为压缩比。}$$

**67** 求  $\sum_{k=-\infty}^{\infty} \sin(k\pi + \frac{\pi}{2})\delta(2k-4)$

$$\text{解: 原式} = \sum_{k=-\infty}^{\infty} \sin(k\pi + \frac{\pi}{2})\delta[2(k-2)] = \sum_{k=-\infty}^{\infty} \sin(k\pi + \frac{\pi}{2})\delta(k-2) = \sum_{k=-\infty}^{\infty} \sin(2\pi + \frac{\pi}{2})\delta(k-2) = \sum_{k=-\infty}^{\infty} \delta(k-2) = 1$$

解析:  $\delta(ak) = \delta(k)$ ,  $a \neq 0$ ;  $\delta(at) = \frac{1}{|a|}\delta(t)$ ,  $a \neq 0$ ;

$$f(k)\delta(k-2) = f(2)\delta(k-2); \quad f(t)\delta(t-2) = f(2)\delta(t-2)。$$

**68**  $f(t)$  的波形如图 37 (a), 写出  $f(t)$ ,  $f'(t)$  的表达式, 并画出  $f'(t)$  的波形。

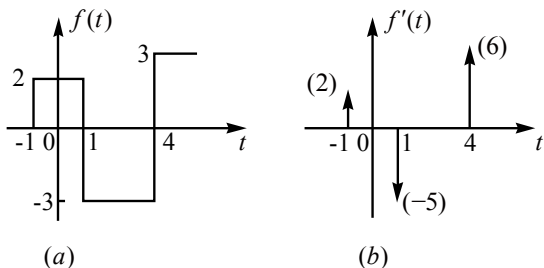


图 37

解:  $f(t) = 2\varepsilon(t+1) - 5\varepsilon(t-1) + 6\varepsilon(t-4)$ ,  $f'(t) = 2\delta(t+1) - 5\delta(t-1) + 6\delta(t-4)$ , 波形见图 37 (b)。

**69** 信号  $f(t)$  的波形如图 38(a), 试画出  $f(-\frac{1}{2}t+1)$  的图形。

解: 如图 38(b)(c)(d)。

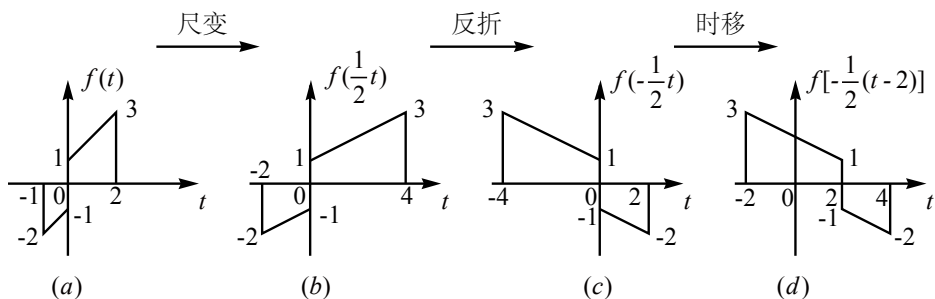


图 38

**70** 如图 39 (a), 移动积分  $y(t) = \int_{-\infty}^t f(\tau) d\tau$  等于\_\_\_\_\_。

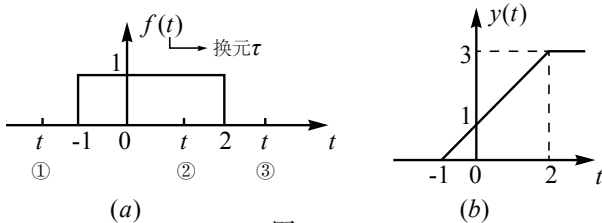


图 39

解: ①当  $t < -1$  时,  $y(t) = \int_{-\infty}^t f(\tau) d\tau = \int_{-\infty}^t 0 d\tau = 0$ ; ②当  $-1 \leq t < 2$  时  $y(t) = \int_{-\infty}^t f(\tau) d\tau = \int_{-1}^t 1 d\tau = t+1$ ;

③当  $t \geq 2$  时  $y(t) = \int_{-\infty}^t f(\tau) d\tau = \int_{-1}^2 1 d\tau = 3$ 。  $\therefore y(t) = \begin{cases} 0, & t < -1 \\ t+1, & -1 \leq t < 2 \\ 3, & t \geq 2 \end{cases}$ , 见图 39 (b)。



**71** 已知某离散系统，当输入为  $f_1(k)$  时，其  $y_1(k)$  如图 40 所示，求当输入

$f_2(k) = f_1(k+1) - 2f_1(k-1) + 3f_1(k-2)$  时，系统的  $y_{f_2}(k)$ 。

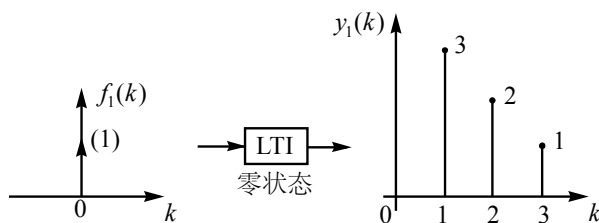


图 40

解：  $y_1(k) = h(k) = 3\delta(k-1) + 2\delta(k-2) + \delta(k-3)$ ，  $f_1(k+1) \rightarrow y_{f_1}(k+1)$ ；  $-2f_1(k-1) \rightarrow -2y_{f_1}(k-1)$ ；

$3f_1(k-2) \rightarrow 3y_{f_1}(k-2)$ 。  $y_{f_2}(k) = 3\delta(k) + 2\delta(k-1) - 5\delta(k-2) + 5\delta(k-3) + 4\delta(k-4) + 3\delta(k-5)$ ，即：

$$y_{f_2}(k) = \{3, 2, -5, 5, 4, 3\}$$

$\uparrow k=0$

**72** 已知系统输入  $f(t) = 3$ ，系统的  $h(t)$  如图 41 (b) 所示，求  $y_{zs}(t)$ 。

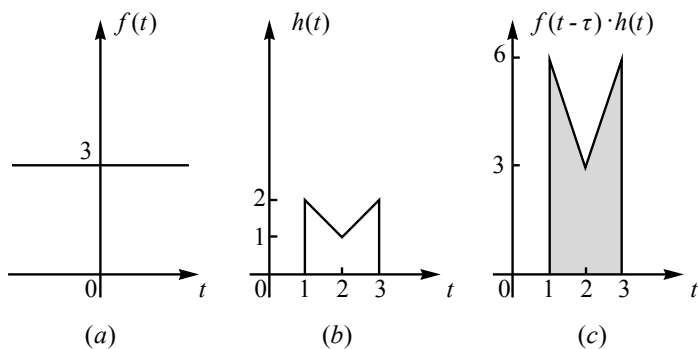


图 41

解：卷积为所围区域净面积，  $y_{zs}(t) = f(t) * h(t) = \int_{-\infty}^{\infty} h(\tau) f(t-\tau) d\tau = 3 \int_1^3 h(\tau) d\tau = 3 \times (2 \times 2 - \frac{1}{2} \times 2 \times 1) = 9$

**73** 已知  $f(t) = \text{Sa}^2(t)$ ，对  $f(t)$  进行理想冲激取样，则使频谱不发生混叠的奈奎斯特间隔  $T_s$  为\_\_\_\_\_。

解：  $\text{Sa}(t) \leftrightarrow \pi g_2(\omega)$ ，  $\text{Sa}^2(t) \leftrightarrow \frac{1}{2\pi} \pi g_2(\omega) * \pi g_2(\omega) = \begin{cases} \frac{\pi}{2} \omega + \pi, & -2 \leq \omega \leq 0 \\ -\frac{\pi}{2} \omega + \pi, & 0 \leq \omega \leq 2 \\ 0, & \text{其他} \end{cases}$ ，  $f_{\max} = \frac{1}{\pi}$ ，  $T_s = \frac{1}{2f_{\max}} = \frac{\pi}{2} \text{ s}$ 。

**74** 某 LTI 因果离散系统的输入输出方程为:  $y(k) - \frac{3}{4}y(k-1) + \frac{1}{8}y(k-2) = 8f(k) + 2f(k-1)$  求  $h(k)$ 。

解法一/时域法: 令  $f(k) = \delta(k)$ , 考虑  $h(k)$  定义中零状态条件  $h(-2) = h(-1) = 0$ ,

$$h(k) - \frac{3}{4}h(k-1) + \frac{1}{8}h(k-2) = 8\delta(k) + 2\delta(k-1) \quad \textcircled{1}, \text{ 令 } \textcircled{1} \text{ 式 } k=0, 1 \text{ 得递推迭代}$$

$$h(0) - \frac{3}{4}h(-1) + \frac{1}{8}h(-2) = 8, \therefore h(0) = 8; \quad h(1) - \frac{3}{4}h(0) + \frac{1}{8}h(-1) = 2, \therefore h(1) = 8. \text{ 由方程写特征方程:}$$

$$\lambda^2 - \frac{3}{4}\lambda + \frac{1}{8} = 0, \text{ 解得 } \lambda_1 = \frac{1}{2}, \lambda_2 = \frac{1}{4}, \text{ 设 } h(k) = C_1\left(\frac{1}{2}\right)^k + C_2\left(\frac{1}{4}\right)^k, \therefore h(0) = 8, \quad h(1) = 8$$

$$\begin{cases} C_1 + C_2 = 8 \\ \frac{1}{2}C_1 + \frac{1}{4}C_2 = 8 \end{cases} \Rightarrow \begin{cases} C_1 = 24 \\ C_2 = 16 \end{cases}, \therefore h(k) = [24\left(\frac{1}{2}\right)^k - 16\left(\frac{1}{4}\right)^k]\varepsilon(k)$$

$$\text{令 } h_1(k) - \frac{3}{4}h_1(k-1) + \frac{1}{8}h_1(k) = \delta(k) \Rightarrow h_1(0), h_1(1), \text{ 求出 } h_1(k)$$

$$h(k) = 8h_1(k) + 2h_1(k), \text{ 线性性质}$$

解法二/ $z$  变换法: 设零状态取  $z$  变换:  $Y_{zs}(z) - \frac{3}{4}z^{-1}Y_{zs}(z) + \frac{1}{8}z^{-2}Y_{zs}(z) = 8F(z) + 2z^{-1}F(z)$

$$H(z) = \frac{Y_{zs}(z)}{F(z)} = \frac{8z+2}{(z-\frac{1}{2})(z-\frac{1}{4})} = \frac{24z}{z-\frac{1}{2}} - \frac{16z}{z-\frac{1}{4}}, \quad h(k) = [24\left(\frac{1}{2}\right)^k - 16\left(\frac{1}{4}\right)^k]\varepsilon(k)$$

**75** 一线性因果离散系统, 当输入  $f_1(k) = \varepsilon(k) - \varepsilon(k-2)$  时, 其  $y_{f_1}(k) = 2\varepsilon(k-1)$ , 求当输入  $f_2(k) = \varepsilon(k)$  时, 其  $y_{f_2}(k) =$ \_\_\_\_\_。

$$\text{解: } F_1(z) = \frac{z}{z-1}(1-z^{-2}), \quad Y_{f_1}(z) = \frac{2z}{z-1} \cdot z^{-1} = \frac{2}{z-1}, \quad H(z) = \frac{Y_{f_1}(z)}{F_1(z)} = \frac{2z}{(z+1)(z-1)}, \quad F_2(z) = \frac{z}{z-1},$$

$$Y_{f_2}(z) = F_2(z)H(z) = \frac{2z^2}{(z-1)^2(z+1)}, \quad \frac{Y_{f_2}(z)}{z} = \frac{2z}{(z-1)^2(z+1)} = \frac{1}{(z-1)^2} + \frac{0.5}{z-1} - \frac{0.5}{z+1},$$

$$Y_{f_2}(z) = \frac{z}{(z-1)^2} + \frac{0.5z}{z-1} - \frac{0.5z}{z+1}, \quad k\varepsilon(k) \leftrightarrow \frac{z}{(z-1)^2}, \quad y_{f_2}(k) = k\varepsilon(k) + 0.5\varepsilon(k) - 0.5(-1)^k\varepsilon(k),$$

$$\frac{z^2}{(z-1)^2} \cdot z^{-1} = \frac{z}{z-1} \cdot \frac{z}{z-1} \cdot z^{-1} \leftrightarrow k\varepsilon(k-1).$$

**76** 序列和  $\sum_{i=-\infty}^k 2^i \delta(i-2) =$ \_\_\_\_\_。

$$\text{解: 原式} = 4 \sum_{i=-\infty}^k \delta(i-2) = 4\varepsilon(k-2).$$

**77** 信号  $f_1(t)$  和  $f_2(t)$  如图 42 所示,  $f(t) = f_1(t) * f_2(t)$ ,

$$\text{则 } f(-1) = \text{_____}.$$

解:  $f(-1) = 1.5$  (过程略)

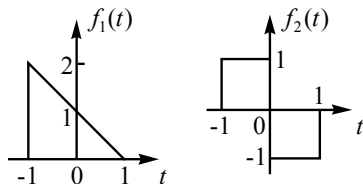


图 42

**78** 单边拉氏变换  $F(s) = \frac{s e^{-s}}{s^2 + 4}$  的原函数为\_\_\_\_\_。

解:  $F_1(s) = \frac{s}{s^2 + 4} \Rightarrow f_1(t) = \cos 2t \varepsilon(t)$ ,  $F(s) = F_1(s) e^{-s} \Rightarrow f(t) = f_1(t-1) = \cos[2(t-1)] \varepsilon(t-1)$

**79** (编者注: 此题与第 23 题相同) 序列  $2^k \cdot \sum_{i=0}^{k-1} (-1)^i \varepsilon(i)$  的单边  $z$  变换为: \_\_\_\_\_。

解: 原式  $= 2^k (-1)^k \varepsilon(k) * \varepsilon(k-1) \leftrightarrow \frac{z/2}{(z/2)^2 - 1} = \frac{2z}{z^2 - 4}$

**80** 求积分  $\int_0^t (\tau^2 + 2) \delta(\tau - 2) d\tau$ 。

解: 原式  $= \int_0^t 6 \delta(\tau - 2) d\tau = 6 \varepsilon(t - 2)$

**81** 已知周期信号  $f(t) = 2 - 4 \cos 6t + 2 \sin 9t$ , 试画出单边的振幅频谱图和相位频谱图。

解:  $f(t) = 2 + 4 \cos(6t + \pi) + 2 \cos(9t - \frac{\pi}{2})$ ,  $T_1 = \frac{2\pi}{6} = \frac{\pi}{3}$ ,  $T_2 = \frac{2\pi}{9}$ ,  $\frac{T_1}{T_2} = \frac{\pi/3}{2\pi/9} = \frac{3}{2}$ ,

$\therefore T = 2T_1 = 3T_2 = 3 \times \frac{2\pi}{9} = \frac{2}{3}\pi$ ,  $\Omega = \frac{2\pi}{T} = 3\text{rad/s}$ 。频谱图如图 43 所示。

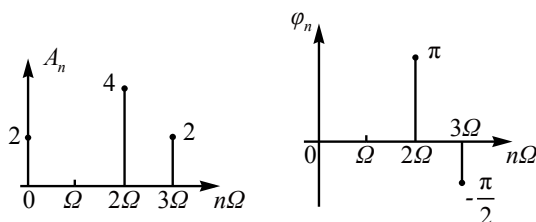


图 43

**82** 已知某 LTI 离散系统的单位响应  $h(k) = \begin{cases} 1, & k=1, 2, 3 \\ 0, & \text{其余} \end{cases}$ , 输入  $f(k) = \begin{cases} 1, & k=0, 2, 4 \\ 0, & \text{其余} \end{cases}$ , 则该系统的  $y_{zs}(k)$  等于\_\_\_\_\_。

解:  $h(k) = \delta(k-1) + \delta(k-2) + \delta(k-3)$ ,  $f(k) = \delta(k) + \delta(k-2) + \delta(k-4)$ ,

$\therefore y_{zs}(k) = h(k) * f(k) = \delta(k-1) + \delta(k-2) + 2\delta(k-3) + \delta(k-4) + 2\delta(k-5) + \delta(k-6) + \delta(k-7)$

**83** 积分  $\int_{-3}^{10} e^{-2t} \delta(-\frac{1}{2}t - 2) dt =$ \_\_\_\_\_。

解:  $\delta(-\frac{1}{2}t - 2) = \delta[-\frac{1}{2}(t+4)] = 2\delta(t+4)$ ,

$\therefore \int_{-3}^{10} e^{-2t} \delta(-\frac{1}{2}t - 2) dt = 2 \int_{-3}^{10} e^{-2t} \delta(t+4) dt = 0 \quad [\because -4 \notin (-3, 10)]$

注: 若  $\int_{-6}^{10} e^{-2t} \delta(-\frac{1}{2}t - 2) dt = 2 \int_{-6}^{10} e^{-2t} \delta(t+4) dt = 2e^8 \quad [\because -4 \in (-6, 10)]$

**84** 序列  $f(k) = \varepsilon(k+4) - \varepsilon(k-3)$  的单边  $z$  变换  $F(z) =$  \_\_\_\_\_。

解:  $f(k)$  在  $k < 0$  时对求单边  $z$  变换无贡献。

$$f(k) = \delta(k+4) + \delta(k+3) + \delta(k+2) + \delta(k+1) + \delta(k) + \delta(k-1) + \delta(k-2)$$

$$F(z) = \sum_{k=0}^{\infty} f(k)z^{-k} = 1 + z^{-1} + z^{-2} + \dots = \frac{z^2 + z + 1}{z^2}$$

**85** 描述 LTI 系统的微分方程为  $y''(t) + 4y'(t) + 3y(t) = 2f'(t) + 8f(t)$ , 已知  $y(0_+) = 3$ ,  $y'(0_+) = 5$ ,

$$f(t) = e^{-2t}\varepsilon(t), \text{ 求 } y_{zi}(t), y_{zs}(t)。$$

解: 假设零状态, 先求  $y_{zs}(t)$ , 对方程取拉氏变换,

$$s^2 Y_{zs}(s) = \frac{2s+8}{s^2+4s+3} F(s) = \frac{2s+8}{(s^2+4s+3)(s+2)} = \frac{3}{s+1} - \frac{4}{s+2} + \frac{1}{s+3}$$

$$\therefore y_{zs}(t) = (3e^{-t} - 4e^{-2t} + e^{-3t})\varepsilon(t), \quad y_{zs}(0_+) = 3 - 4 + 1 = 0, \quad y'_{zs}(0_+) = 2$$

$$\therefore \begin{cases} y_{zi}(0_+) = y(0_+) - y_{zs}(0_+) = 3 - 0 = 3 \\ y'_{zi}(0_+) = y'(0_+) - y'_{zs}(0_+) = 5 - 2 = 3 \end{cases}$$

写特征方程:  $\lambda^2 + 4\lambda + 3 = 0 \Rightarrow \lambda_1 = -1, \lambda_2 = -3$ , 设  $y_{zi}(t) = C_1 e^{-t} + C_2 e^{-3t}$ , 代入  $y_{zi}(0_+)$ ,  $y'_{zi}(0_+)$ :

$$\begin{cases} C_1 + C_2 = 3 \\ -C_1 - 3C_2 = 3 \end{cases} \Rightarrow \begin{cases} C_1 = 6 \\ C_2 = -3 \end{cases}, \therefore y_{zi}(t) = (6e^{-t} - 3e^{-3t})\varepsilon(t)$$

**86** 积分  $\int_{-\infty}^t e^{-(t-\tau)} \delta(2-2\tau) d\tau =$  \_\_\_\_\_。

$$\text{解: 原式} = \int_{-\infty}^t e^{-(t-\tau)} \cdot \frac{1}{2} \delta(\tau-1) d\tau = \frac{1}{2} e^{-(t-1)} \int_{-\infty}^t \delta(\tau-1) d\tau = \frac{1}{2} e^{-(t-1)} \varepsilon(t-1)$$

**87** 某连续系统输入输出关系为  $y(t) = \int_{-\infty}^{t-1} f(2\tau) d\tau$ , 该系统为 \_\_\_\_\_ (线性/非线性&时变/时不变)。

解: ① 设输入分别为  $f_1(t)$ ,  $f_2(t)$ , 则输出为  $y_1(t) = \int_{-\infty}^{t-1} f_1(2\tau) d\tau$ ,  $y_2(t) = \int_{-\infty}^{t-1} f_2(2\tau) d\tau$ ,

若  $f_3(t) = af_1(t) + bf_2(t)$ , 则系统输出

$$y_3(t) = \int_{-\infty}^{t-1} f_3(2\tau) d\tau = \int_{-\infty}^{t-1} [af_1(2\tau) + bf_2(2\tau)] d\tau = \int_{-\infty}^{t-1} af_1(2\tau) d\tau + \int_{-\infty}^{t-1} bf_2(2\tau) d\tau = ay_1(t) + by_2(t)$$

$\therefore$  为线性系统。

$$\text{② } y(t-t_d) = \int_{-\infty}^{t-t_d-1} f(2\tau) d\tau \neq \int_{-\infty}^{t-1} f[2(\tau-t_d)] d\tau, \therefore \text{为时变系统。}$$

**88** 信号  $f_1(t)$  和  $f_2(t)$  如图 44 所示,  $f(t) = f_1(t) * f_2(t)$ , 则  $f(-1)$  等于 1/4。

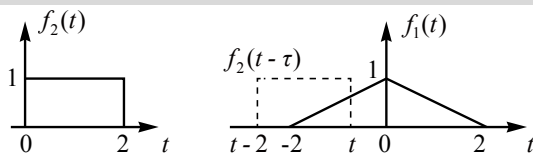


图 44

**89** 序列  $f(k) = \sum_{i=0}^{\infty} (-2)^{-i} \delta(k-i)$  的单边  $z$  变换  $F(z) =$  \_\_\_\_\_。

解: 原式  $= (-2)^{-k} \varepsilon(k) * \delta(k) = (-\frac{1}{2})^k \varepsilon(k) \leftrightarrow \frac{z}{z+1/2} = \frac{2z}{2z+1}$

**90** 如图 45 所示周期信号  $f(t)$ , 复傅里叶系数为  $F_n$ , 则  $F_0$  等于 \_\_\_\_\_。

解: 一个周期的净面积, 除以周期即是  $F_0$ , 即  $F_n = \frac{1}{T} \int_{-T/2}^{T/2} f(t) e^{-jn\Omega t} dt \xrightarrow{n=0} F_0 = \frac{1}{T} \int_{-T/2}^{T/2} f(t) dt$

由图知周期  $T=6$ ,  $\therefore$  一个周期的净面积  $A = \frac{1}{2} \times 4 \times 6 = 12$ 。

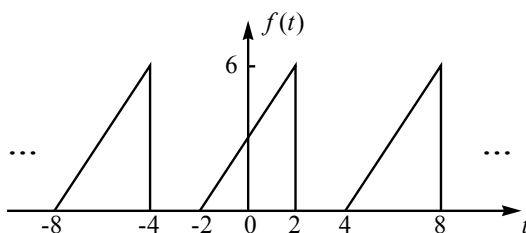


图 45

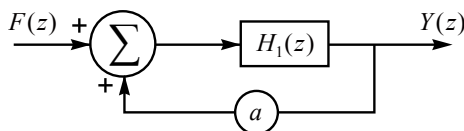


图 46

**91** 如图 46 所示为反馈因果系统, 已知  $H_1(z) = \frac{z}{z+0.5}$ ,  $a$  为常数,  $a$  取下列哪个值使系统稳定?

- (A)  $a=0.6$  (B)  $a=0.8$  (C)  $a=1.4$  (D)  $a=1.8$

解:  $H(z) = \frac{H_1(z)}{1 - aH_1(z)} = \frac{\frac{z}{z+0.5}}{1 - a \frac{z}{z+0.5}} = \frac{z}{(1-a)z+0.5}$ , 其极点  $p = \frac{0.5}{a-1}$ ,

当  $|p| < 1$  时系统稳定, 故可知当  $a$  取 1.8 时系统稳定。

**92**  $F(j\omega) = \frac{\cos \omega}{j\omega + 1}$  的原函数  $f(t) =$  \_\_\_\_\_。

解:  $F(j\omega) = \frac{\frac{1}{2}e^{j\omega} + \frac{1}{2}e^{-j\omega}}{j\omega + 1} = \frac{1}{2} \cdot \frac{e^{j\omega}}{j\omega + 1} + \frac{1}{2} \cdot \frac{e^{-j\omega}}{j\omega + 1}$ ,  $\therefore f(t) = \frac{1}{2}e^{-(t+1)}\varepsilon(t+1) + \frac{1}{2}e^{-(t-1)}\varepsilon(t-1)$

**93**  $f(t)$  的傅氏变换  $F(j\omega) = (\frac{\sin 2\omega}{\omega})^2$ , 则  $f(t) =$ \_\_\_\_\_。

解:  $F(j\omega) = \frac{\sin 2\omega}{\omega} \cdot \frac{\sin 2\omega}{\omega}$ , 而  $\frac{\sin 2\omega}{\omega} \leftrightarrow \frac{1}{2}g_4(t)$ , 则  $f(t) = \frac{1}{2}g_4(t) * \frac{1}{2}g_4(t) = \begin{cases} \frac{1}{4}t+1, & -4 \leq t < 0 \\ -\frac{1}{4}t+1, & 0 \leq t \leq 4 \end{cases}$

注: (1)  $g_\tau(t) \leftrightarrow \tau \text{Sa}(\frac{\omega\tau}{2})$  常用;

(2)  $\frac{\sin 2\omega}{\omega} = 2 \cdot \frac{\sin 2\omega}{2\omega}$ , 对照(1),  $\frac{\omega\tau}{2} = 2\omega$ , 则  $\tau = 4$ , 可知  $\frac{1}{2}g_4(t) \leftrightarrow \frac{\sin 2\omega}{\omega}$ 。

(3) 卷积过程图略, 应用卷积积分的微分、积分规则求简单, 即  $f(t) = \frac{1}{2}g'_4(t) * \frac{1}{2}\int_{-\infty}^t g_4(\tau) d\tau$

**94** 已知  $f_1(k) = k[\varepsilon(k+1) - \varepsilon(k-2)]$ ,  $f_2(k) = \delta(k) + 2\delta(k-1) + 2\delta(k-2)$ , 画出  $y(k) = f_1(k) * f_2(k)$  的波形。

$$y(k) = \{-1, -2, -1, 2, 2\}$$

解: 列表法:

$$\begin{array}{c} \uparrow \\ k=0 \end{array}$$

$f_1(k)$		-1	0	1
$f_2(k)$		-1	0	1
0	1	-1	0	1
1	2	-2	0	2
2	2	-2	0	2

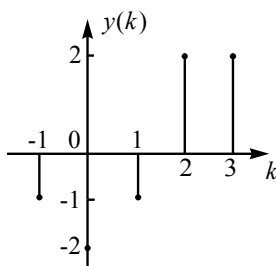


图 47

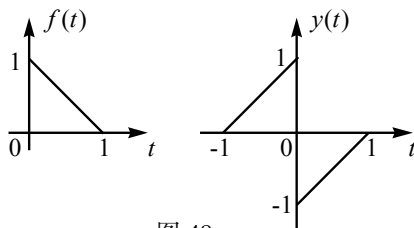


图 48

**95** 如图 48,  $f(t)$  的  $F(j\omega) = R(\omega) + jX(\omega)$ , 则信号  $y(t)$  的  $Y(j\omega) =$ \_\_\_\_\_。

解:  $y(t) = f(-t) - f(t)$ ,

$$\begin{cases} f(t) \leftrightarrow R(\omega) + jX(\omega) \\ f(-t) \leftrightarrow R(-\omega) + jX(-\omega) = R(\omega) - jX(\omega) \end{cases} \Rightarrow Y(j\omega) = R(\omega) - jX(\omega) - R(\omega) - jX(\omega) = -j2X(\omega)$$

**96** 序列  $f(k) = 2^{-k}\varepsilon(k) + 2^k\varepsilon(-k-1)$  的双边  $z$  变换  $F(z) =$ \_\_\_\_\_。

解:  $2^{-k}\varepsilon(k) = (\frac{1}{2})^k\varepsilon(k) \leftrightarrow \frac{z}{z-1/2}, |z| > \frac{1}{2}$ ,  $2^k\varepsilon(-k-1) \leftrightarrow -\frac{z}{z-2}, |z| < 2$ ,

$$\therefore F(z) = \frac{z}{z-1/2} - \frac{z}{z-2} = \frac{-\frac{3}{2}z}{(z-\frac{1}{2})(z-2)}, \frac{1}{2} < |z| < 2$$

**97** 已知因果信号的拉氏变换为  $f(t) \leftrightarrow F(s)$ , 则  $\frac{df(\frac{t}{2}-2)}{dt}$  的拉氏变换为\_\_\_\_\_。

解:  $f(t) \leftrightarrow F(s)$ ,  $f(\frac{t}{2}-2) = f[\frac{1}{2}(t-4)] \leftrightarrow 2F(2s) \cdot e^{-4s}$ ,  $\frac{df(\frac{t}{2}-2)}{dt} \leftrightarrow s \cdot 2F(2s)e^{-4s} = 2sF(2s)e^{-4s}$ 。

**98** 离散系统  $H(z)$  的零极点分布图如图 49 所示, 且已知单位序列响应  $h(k)$  的初值  $h(0)=1$ , 则  $h(k)=$ \_\_\_\_\_。

解: 设系统函数  $H(z) = k \cdot \frac{(z-j)(z+j)}{(z-1)(z+1)} = k \cdot \frac{z^2+1}{z^2-1}$ , 由初值定理,  $h(0) = \lim_{z \rightarrow \infty} k \cdot \frac{z^2+1}{z^2-1} = 1 \Rightarrow k=1$ ,

则  $H(z) = \frac{z^2+1}{z^2-1} = -1 + \frac{z}{z-1} + \frac{z}{z+1} \Rightarrow h(k) = -\delta(k) + [1 + (-1)^k] \varepsilon(k)$

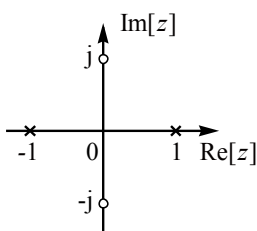


图 49

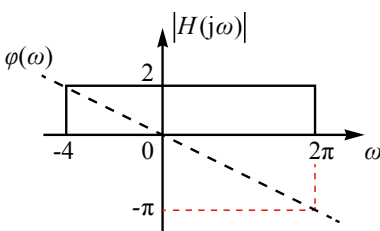


图 50

**99** 某理想低通滤波器的频率响应如图 50 所示, 当输入  $f(t) = \frac{1}{2} \cos(\frac{\pi}{2}t) + \sin(\pi t + 30^\circ) + 2 \cos(3\pi t)$  时, 滤波器的响应  $y(t) =$ \_\_\_\_\_。

解: 当  $\frac{1}{2} \cos(\frac{\pi}{2}t)$  分量作用时, 输出  $y_1(t) = \cos(\frac{\pi}{2}t - \frac{\pi}{4})$ ; 当  $\sin(\pi t + 30^\circ) = \cos(\pi t - 60^\circ) = \cos(\pi t - \frac{\pi}{3})$  分量作用时, 输出  $y_2(t) = 2 \cos(\pi t - \frac{5}{6}\pi)$ ; 当  $2 \cos(3\pi t)$  分量作用时, 输出  $y_3(t) = 0$  (频率在通带外)。

$\therefore y(t) = y_1(t) + y_2(t) = \cos(\frac{\pi}{2}t - \frac{\pi}{4}) + 2 \cos(\pi t - \frac{5}{6}\pi)$

**100** 已知 LTI 系统输入  $f(t) = e^{-2t} \varepsilon(t)$  引起的零状态响应  $y_{zs}(t) = (e^{-t} - e^{-2t}) \varepsilon(t)$ , 则该系统的冲激响应  $h(t) =$ \_\_\_\_\_。

解:  $F(s) = \frac{1}{s+2}$ ,  $Y_{zs}(s) = \frac{1}{s+1} - \frac{1}{s+2} = \frac{1}{(s+1)(s+2)}$ ,  $H(s) = \frac{Y_{zs}(s)}{F(s)} = \frac{1}{s+1} \Rightarrow h(t) = e^{-t} \varepsilon(t)$ 。

**101** 设离散因果系统的阶跃响应为  $g(k)$ , 已知系统对输入  $f(k)$  的零状态响应为  $y_{zs}(k) = \sum_{i=0}^k g(i)$ , 求系统的输入  $f(k)$ 。

解:  $g(k) \leftrightarrow G(z) = H(z) \frac{z}{z-1}$ ,  $Y_{zs}(z) = \frac{z}{z-1} G(z) = (\frac{z}{z-1})^2 H(z) = F(z) \cdot H(z)$ ,

$\therefore F(z) = \frac{z}{z-1} \cdot \frac{z}{z-1} \Rightarrow f(k) = \varepsilon(k) * \varepsilon(k) = (k+1) \varepsilon(k)$

**102** 已知某线性系统的输入  $f(t)$  和  $h(t)$  如图 51(a) 所示。

(1) 试画出  $\frac{df(t)}{dt}$  和  $\int_{-\infty}^t h(\tau) d\tau$  的波形; (2) 求该系统的零状态响应  $y_{zs}(t)$ , 并画出其波形。

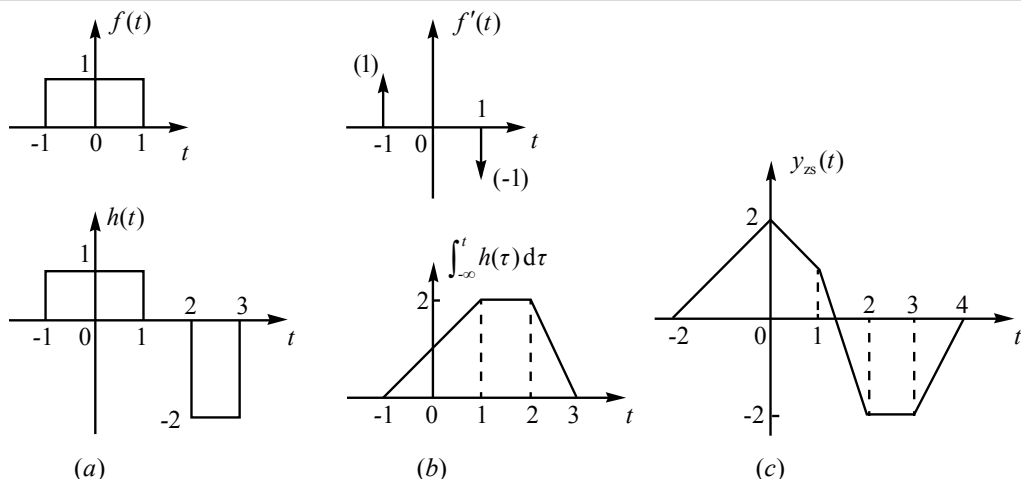


图 51

解: (1) 由  $f(t)$  波形知,  $f(t) = \varepsilon(t+1) - \varepsilon(t-1) \Rightarrow f'(t) = \delta(t+1) - \delta(t-1)$ , 波形见图 51(b);

(2)  $y_{zs}(t) = f(t) * h(t) = \int_{-\infty}^t f(\tau) d\tau * h'(t) = f'(t) * \int_{-\infty}^t h(\tau) d\tau$ , 波形见图 51(c)。

**103** 一 LTI 系统,  $y''(t) + 4y'(t) + 3y(t) = f''(t) + 3f(t)$ , 当  $f(t) = \varepsilon(t)$  的全响应为

$$y(t) = (1 - e^{-t} + 3e^{-3t})\varepsilon(t)$$

(1) 求  $h(t)$ ; (2) 求  $y_{zi}(t)$ ; (3) 频响函数存在否? 说明理由, 若存在, 求  $H(j\omega)$ 。

解: (1) 设零状态, 取拉氏变换, 得

$$s^2 Y_{zs}(s) + 4s Y_{zs}(s) + 3 Y_{zs}(s) = s^2 F(s) + 3 F(s) \Rightarrow H(s) = \frac{Y_{zs}(s)}{F(s)} = \frac{s^2 + 3}{s^2 + 4s + 3} = 1 + \frac{2}{s+1} - \frac{6}{s+3}$$

$$\therefore h(t) = \delta(t) + (2e^{-t} - 6e^{-3t})\varepsilon(t)$$

$$(2) g(t) = \varepsilon(t) * h(t), \quad G(s) = \frac{1}{s} H(s) = \frac{1}{s} \cdot \frac{s^2 + 3}{(s+1)(s+3)} = \frac{1}{s} - \frac{2}{s+1} + \frac{2}{s+3}, \quad \text{故 } g(t) = (1 - 2e^{-t} + 2e^{-3t})\varepsilon(t)$$

$$\therefore y_{zi}(t) = y(t) - g(t) = (e^{-t} + 2e^{-3t})\varepsilon(t)$$

(3) 由  $H(s)$  的分母多项式,  $\lambda_1 = -1$ 、 $\lambda_2 = -3$  均在  $s$  左半平面, 故该因果连续系统稳定  $\Rightarrow$  存在频率

$$\text{响应函数 } H(j\omega), \text{ 此时, } H(j\omega) = H(s)|_{s=j\omega} = \frac{3 - \omega^2}{3 - \omega^2 + j4\omega}, \quad H(j0) = H(j\omega)|_{\omega=0} = 3/3 = 1$$



**104** 已知信号  $f(t)$  如图 52(a), 其傅氏变换为  $F(j\omega)$ 。

(1) 求  $F(0)$ ; (2) 求  $\int_{-\infty}^{\infty} F(j\omega)e^{-j\omega} d\omega$ ; (3) 求  $\int_{-\infty}^{\infty} |F(j\omega)|^2 d\omega$ ; (4) 求  $\int_{-\infty}^{\infty} F^2(j\omega) d\omega$ 。

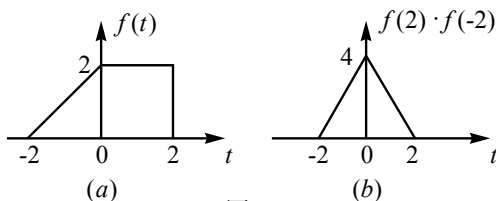


图 52

解: (1)  $F(j\omega) = \int_{-\infty}^{\infty} f(t)e^{-j\omega t} dt \xrightarrow{\omega=0} F(0) = \int_{-\infty}^{\infty} f(t) dt = \frac{1}{2} \times (2+4) \times 2 = 6$

(2)  $f(t) = \frac{1}{2\pi} \int_{-\infty}^{\infty} F(j\omega)e^{j\omega t} d\omega \xrightarrow{t=-1} f(-1) = \frac{1}{2\pi} \int_{-\infty}^{\infty} F(j\omega)e^{-j\omega} d\omega$ ,

则  $\int_{-\infty}^{\infty} F(j\omega)e^{-j\omega} d\omega = 2\pi f(-1) = 2\pi$

(3) 由帕斯维尔定理知,  $\frac{1}{2\pi} \int_{-\infty}^{\infty} |F(j\omega)|^2 d\omega = \int_{-\infty}^{\infty} |f(t)|^2 dt = E$  (信号能量)

$\therefore \int_{-\infty}^{\infty} |F(j\omega)|^2 d\omega = 2\pi \int_{-\infty}^{\infty} f^2(t) dt = 2\pi \int_{-2}^0 (t+2)^2 dt + 2\pi \int_0^2 2^2 dt = \frac{64}{3}\pi$

(4) 设  $y(t) = f(t) * f(t)$ , 则  $Y(j\omega) = F^2(j\omega)$ ,  $y(0) = \frac{1}{2\pi} \int_{-\infty}^{\infty} F^2(j\omega) d\omega$ ,  $\therefore \int_{-\infty}^{\infty} F^2(j\omega) d\omega = 2\pi y(0)$

而  $y(0) = f(2) \cdot f(-2)$  乘积函数的图形面积 [图 52(b)], 故  $\int_{-\infty}^{\infty} F^2(j\omega) d\omega = 2\pi y(0) = 16\pi$

**105** 离散序列  $f_1(k) = \delta(k+1) + 2\delta(k) + 3\delta(k-1)$ ,  $f_2(k) = \varepsilon(k+2)$ , 设  $y(k) = f_1(k) * f_2(k)$ ,

则  $y(-1) = \underline{\hspace{2cm}}$ ,  $y(-2) = \underline{\hspace{2cm}}$ 。

解: 表格法,  $y(-1) = 1+2+3 = 6$ ,  $y(-2) = 1+2 = 3$

$f_1(k)$		-1	0	1
$f_2(k)$		1	2	3
-2	1			
-1	1	1	2	
0	1		1	2

**106** 序列  $f(k) = (2)^k \varepsilon(-k)$  的双边  $z$  变换  $F(z) = \underline{\hspace{2cm}}$ 。

解:  $f(k) = (2)^k \varepsilon(-1-k) + \delta(k)$ , 由常用  $z$  变换并应用线性性质可得  $F(z) = \frac{-z}{z-2} + 1 = \frac{-2}{z-2}$

- 107** 有限频带信号  $f(t) = 1 + 2\cos(2\pi f_0 t) + \cos(4\pi f_0 t)$ , 其中  $f_0 = 1\text{kHz}$ , 用冲激函数序列  $\delta(t)$  进行取样, 得取样信号  $f_s(t)$ , 试研究如下问题:
- (1) 为使由取样信号  $f_s(t)$  能恢复出原信号  $f(t)$ , 对  $f(t)$  的取样频率至少为多少?
  - (2) 确定由取样信号  $f_s(t)$  能恢复原信号  $f(t)$  时, 理想 LPF 的最小截止频率?
  - (3) 若实际 LPF 的截止频率为  $6\text{kHz}$ , 则要将  $f(t)$  的抽样频率最小为多少时才能保证恢复原信号?
  - (4) 以  $6\text{kHz}$  为抽样频率, 画出  $f(t)$  的  $F(j\omega)$  图和  $f_s(t)$  的频谱图。

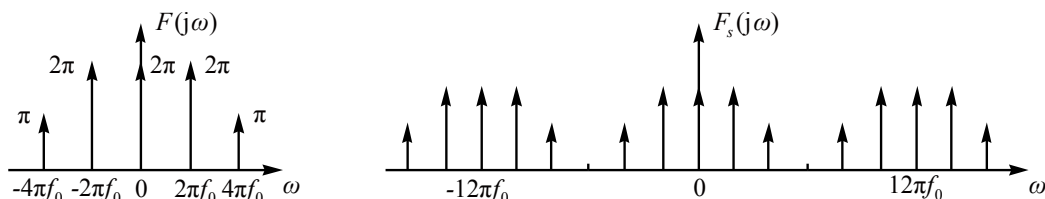


图 53

- 解: (1)  $f_{s\min} = 2f_{\max} = 2 \times 2f_0 = 4\text{kHz}$
- (2)  $f_{c\min} = f_{\max} = 2f = 2\text{kHz}$
- (3) 这个问题应如此理解:  $f_s \geq 2f_{\max}$  只是保证被取样信号  $f_s(t)$  的频谱不发生混叠, 经过低通滤波器传输, 是否能保证恢复原信号与低通滤波器的截止频率  $f_c$  很有关系, 只有保证低通滤波器频带内仅有  $f_s(t)$  周期谱的主周期谱, 即原信号谱, 才能保证低通输出恢复原信号, 当  $f_{s\min} = f_c + f_{\max}$  时可以满足此点, 故  $f_{s\min} = f_c + f_{\max} = 6 + 2 = 8\text{kHz}$
- (4)  $F_s(j\omega) = \frac{1}{T_s} \sum_{n=-\infty}^{\infty} F[j(\omega - n\omega_s)]$ ,  $F(j\omega)$ ,  $F_s(j\omega)$  图形如图 53, 其中  $T_s = 1/f_s$

**108** 已知频谱函数  $F(j\omega) = [\varepsilon(\omega) - \varepsilon(\omega - 2)]e^{-j\omega}$ , 式中  $\varepsilon(\omega)$  为频域阶跃函数。

- (1) 求信号  $f(t)$ ;
- (2) 说明  $f(t)$  是否为因果信号, 是否为实信号?
- (3) 假设  $f(t)$  是电压信号, 单位为伏特, 求信号能量  $E$ 。

解: (1) 令  $\varepsilon(\omega) - \varepsilon(\omega - 2) = G_2(\omega - 1) \leftrightarrow \frac{\sin t}{\pi t} e^{jt}$ ,  $\therefore F(j\omega) = G_2(\omega - 1)e^{-j\omega}$

$$\therefore f(t) = \frac{\sin(t-1)}{\pi(t-1)} \cdot e^{j(t-1)} = \frac{1}{\pi} \text{Sa}(t-1) e^{j(t-1)}$$

(2)  $\because t < 0$ ,  $f(t) \neq 0$ ,  $\therefore$  非因果。 $f(t)$  表达式中有  $e^{jt}$  因子  $\Rightarrow f(t)$  不为实信号。

(3) 帕斯瓦尔定理:  $E = \frac{1}{2\pi} \int_{-\infty}^{\infty} |F(j\omega)|^2 d\omega = \frac{1}{2\pi} \int_0^2 1^2 d\omega = \frac{1}{\pi} \text{ J}$

**109**  $\int_{-\infty}^{\infty} 4\sin(\pi\tau + 30^\circ)\delta(1-\tau) d\tau$  等于 ( )。

- (A) 0      (B) -2      (C)  $2\varepsilon(t)$       (D)  $-2\varepsilon(t-1)$

解: 原式  $= \int_{-\infty}^{\infty} 4\sin(\pi + \frac{\pi}{6})\delta(\tau-1) d\tau = -2$

**110** 已知一因果离散系统的差分方程为  $y(k) + y(k-1) = 2f(k-1)$ 。

- (1) 已知  $f(k) = 0.5^k \varepsilon(k)$ ,  $y(-1) = 2$ , 求输出  $y(k)$  的零状态响应和零输入响应;
- (2) 求该离散系统的频率响应;
- (3) 若  $f(k) = 2\sin(0.5\pi k)$ , 求该系统的稳态响应  $y_s$ ;
- (4) 画出该系统的模拟框图。

解: (1) 对方程取  $z$  变换:  $Y(z) + z^{-1}Y(z) + y(-1) = 2z^{-1}F(z)$

$$F(z) = z[0.5^k \varepsilon(k)] = \frac{z}{z-0.5} \Rightarrow Y(z) = \frac{-y(-1)}{1+z^{-1}} + \frac{2z^{-1}}{1+z^{-1}} F(z) = \frac{-2}{1+z^{-1}} + \frac{2z^{-1}}{1+z^{-1}} \cdot \frac{z}{z-0.5}$$

$$Y_{zi}(z) = \frac{-2}{1+z^{-1}} = \frac{-2z}{1+z} \Rightarrow y_{zi}(k) = -2(-1)^k \varepsilon(k)$$

$$Y_{zs}(z) = \frac{2z^{-1}}{1+z^{-1}} F(z) = \frac{2}{z+1} \cdot \frac{z}{z-0.5} = \frac{\frac{4}{3}z}{z-0.5} - \frac{\frac{4}{3}z}{z+1} \Rightarrow y_{zs}(k) = \frac{4}{3}[0.5^k - (-1)^k] \varepsilon(k)$$

$$H(z) = \frac{Y_{zs}(z)}{F(z)} = \frac{2}{z+1}, \text{ 极点 } \lambda = -1$$

$$(2) \text{ 系统频率响应: } H(e^{j\theta}) = H(z)|_{z=e^{j\theta}} = \frac{2}{e^{j\theta} + 1}$$

$$(3) \theta = 0.5\pi \text{ rad 时, } H(e^{j\frac{\pi}{2}}) = \frac{2}{e^{j\frac{\pi}{2}} + 1} = \frac{2}{1+j} = \sqrt{2} \angle 45^\circ$$

$$\therefore y_s(k) = 2 \times \sqrt{2} \sin(0.5\pi k - 45^\circ) = 2\sqrt{2} \sin(0.5\pi k - 45^\circ)$$

$$(4) H(z) = \frac{2z^{-1}}{1+z^{-1}}, \text{ 其模拟框图如图 54 所示。}$$

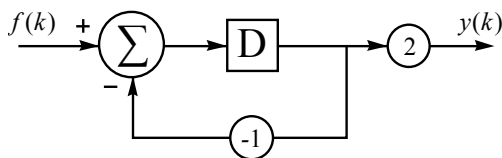


图 54

注: 极点在单位圆上, 从严格的  $\sum_{k=0}^{\infty} |h(k)| < \infty$  充要条件判定, 该因果系统是不稳定系统, 但在单位圆上的极点是一阶的, 当  $k \rightarrow \infty$  时,  $h(k)$  有界, 并不趋于  $\infty$ , 所以实际中又常将这类系统划为临界稳定系统, 有时甚至划为稳定系统。

**111** 信号  $f(t) = e^{-j3t} (-\infty < t < +\infty)$ , 则傅里叶变换  $F(j\omega)$  等于 ( )。

$$\text{解: } F(j\omega) = \int_{-\infty}^{\infty} e^{-j3t} e^{-j\omega t} dt = 2\pi\delta(\omega+3)$$

**112** 已知电路如图 55(a)所示, 激励信号  $u_s(t) = \varepsilon(t)\text{V}$ , 在  $t=0$  时测得系统的输出  $u_o(0) = 1\text{V}$ ,

$u_o(1) = e^{-0.5}\text{V}$ 。(1) 求系统的系统函数; (2) 求系统的零状态响应  $u_{ozs}(t)$  和零输入响应  $u_{ozi}(t)$ 。

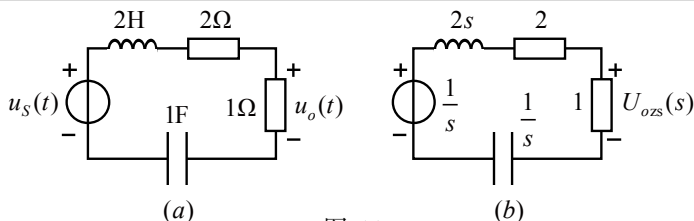


图 55

解: (1) 设零状态, 画  $s$  域电路模型如图 55(b)所示,  $U_{ozs}(s) = \frac{1}{2s + 2 + 1 + 1/s} \cdot U_s(s)$ ,

$$H(s) = \frac{U_{ozs}(s)}{U_s(s)} = \frac{s}{2s^2 + 3s + 1}$$

$$(2) U_{ozs}(s) = H(s)F(s) = \frac{s}{2s^2 + 3s + 1} \cdot \frac{1}{s} = \frac{1}{2s^2 + 3s + 1} = \frac{1}{s + 1/2} - \frac{1}{s + 1}, \text{ 则 } u_{ozs}(t) = (e^{-\frac{1}{2}t} - e^{-t})\varepsilon(t)\text{V}.$$

将  $t=0, 1$  代入  $u_{ozs}(t)$ , 得  $u_{ozs}(0) = 0$ ,  $u_{ozs}(1) = e^{-\frac{1}{2}} - e^{-1}$ ,

$$\therefore u_{ozi}(0) = u_o(0) - u_{ozs}(0) = 1 - 0 = 1\text{V} \quad (1) \quad u_{ozi}(1) = u_o(1) - u_{ozs}(1) = e^{-0.5} - e^{-0.5} + e^{-1} = e^{-1} \quad (2)$$

由  $H(s)$  表达式可知, 系统两个特征根  $\lambda_1 = -\frac{1}{2}$ ,  $\lambda_2 = -1$ , 设  $u_{ozi}(t) = C_1 e^{-\frac{1}{2}t} + C_2 e^{-t} \quad (3)$

$$\text{将 (1)(2) 代入 (3), 有 } \begin{cases} C_1 + C_2 = 1 \\ C_1 e^{-\frac{1}{2}} + C_2 e^{-1} = e^{-1} \end{cases} \Rightarrow C_1 = 0, C_2 = 1, \therefore u_{ozi}(t) = e^{-t}\varepsilon(t)\text{V}$$

**113** 系统的输出  $y(t)$  与输入  $f(t)$  的关系有下列四种情况, 其中为非线性系统的是 ( A )。

(A)  $y(t) = 2f(t) + 3$  (B)  $y(t) = 3f(2t)$  (C)  $y(t) = f(-t)$  (D)  $y(t) = tf(t)$

解: A 选项, 令输入  $f_1(t)$  时系统输出为  $y_1(t)$ , 则  $y_1(t) = 2f_1(t) + 3$ ; 再令输入  $f_2(t) = 2f_1(t)$  时系统输出为  $y_2(t)$ , 则  $y_2(t) = 2f_2(t) + 3 = 4f_1(t) + 3 \neq 2y_1(t)$ , 不满足齐次性, 所以是非线性系统。

注: C、D 为时变系统。

**114** 带限信号  $f_1(t)$ ,  $f_2(t)$  的最高频率分别为  $f_{1\max} = 2\text{kHz}$ ,  $f_{2\max} = 3\text{kHz}$ , 设复合信号

$y(t) = f_1(t) + f_2(t) + f_1(t) * f_2(t) + f_1(t) \cdot f_2(t)$ , 欲对  $y(t)$  进行理想冲激采样而又不发生频谱混叠的最低采样率  $f_s =$  \_\_\_\_\_。

解:  $f_1(t) * f_2(t) \leftrightarrow F_1(j\omega)F_2(j\omega) \xrightarrow{\text{选最小}} 2\text{kHz}$ ,  $f_1(t) \cdot f_2(t) \leftrightarrow \frac{1}{2\pi} F_1(j\omega) * F_2(j\omega) \xrightarrow{\text{最高频率和}} 3 + 2 = 5\text{kHz}$

$$f_y = \max\{f_1, f_2, \dots\} = 5\text{kHz}, \quad f_s = 2 \cdot f_{y\max} = 10\text{kHz}$$

**115** 某连续因果系统的信号流图如图 56:

- (1) 以图中所示的  $x_1(t)$ ,  $x_2(t)$  为状态变量, 写出系统的状态方程和输出方程;  
 (2) 求出该系统的系统函数, 并判断系统是否稳定;  
 (3) 求  $f(t) = e^{-2t}\varepsilon(t)$  时系统的零状态响应  $y_{zs}(t)$ 。

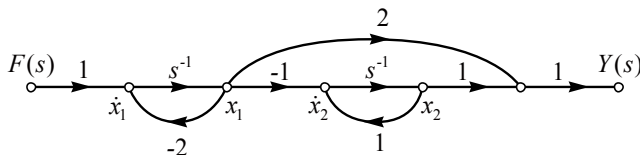


图 56

解: (1) 
$$\begin{bmatrix} \dot{x}_1 \\ \dot{x}_2 \end{bmatrix} = \begin{bmatrix} -2 & 0 \\ -1 & 1 \end{bmatrix} \begin{bmatrix} x_1 \\ x_2 \end{bmatrix} + \begin{bmatrix} 1 \\ 0 \end{bmatrix} f, \quad y = \begin{bmatrix} 2 & 1 \end{bmatrix} \begin{bmatrix} x_1 \\ x_2 \end{bmatrix}$$

(2)  $H(s) = \frac{2s^{-1}(1-s^{-1})-s^{-2}}{1+2s^{-1}-s^{-1}-2s^{-2}} = \frac{2s-3}{s^2+s-2}$ , 分母多项式  $A(s) = s^2+s-2$  中系数有正有负, 故不是霍尔维茨多项式, 有极点在  $s$  左半平面, 所以该系统不稳定。

(3)  $F(s) = \frac{1}{s+2}$ ,  $Y_{zs}(s) = F(s)H(s) = \frac{1}{s+2} \cdot \frac{2s-3}{s^2+s-2} = \frac{2s-3}{(s+2)^2(s-1)} = \frac{7/3}{(s+2)^2} + \frac{1/9}{s+2} - \frac{1/9}{s-1}$ ,  

$$\therefore y_{zs}(t) = \frac{1}{9}(e^{-2t} - e^t)\varepsilon(t) + \frac{7}{3}e^{-2t}t\varepsilon(t)$$

**116** 一 LTI 连续系统的输入为  $f(t)$ , 输出为  $y(t)$ , 冲激响应  $h(t) = (3e^{-2t} + 4e^{-3t})\varepsilon(t)$ , 已知输入

$$f(t) = e^{-t}\varepsilon(t), \quad y(0_-) = 1, \quad y'(0_-) = 2。$$

- (1) 求系统函数  $H(s)$ ; (2) 求零状态响应  $y_{zs}(t)$ ; (3) 求零输入响应  $y_{zi}(t)$ 。

解: (1) 由已知  $h(t)$  的表达式, 得  $H(s) = \frac{3}{s+2} + \frac{4}{s+3} = \frac{7s+17}{(s+2)(s+3)}$

(2)  $Y_{zs}(s) \leftrightarrow F(s)H(s) = \frac{1}{s+1} H(s) = \frac{7s+17}{(s+1)(s+2)(s+3)} = \frac{5}{s+1} - \frac{3}{s+2} - \frac{2}{s+3}$

$$\therefore y_{zs}(t) = (5e^{-t} - 3e^{-2t} - 2e^{-3t})\varepsilon(t)$$

(3) 由  $H(s)$  可知,  $\lambda_1 = -2$ ,  $\lambda_2 = -3$ ,  $\therefore$  设  $y_{zi}(t) = C_{zi1}e^{-2t} + C_{zi2}e^{-3t}$ ,

$$\left. \begin{aligned} y_{zi}(0_+) &= y_{zi}(0_-) = y(0_-) = 1 \\ y'_{zi}(0_+) &= y'_{zi}(0_-) = y'(0_-) = 2 \end{aligned} \right\} \text{代入 } y_{zi}(t) \Rightarrow \begin{cases} C_{zi1} + C_{zi2} = 1 \\ -2C_{zi1} - 3C_{zi2} = 2 \end{cases} \Rightarrow \begin{cases} C_{zi1} = 5 \\ C_{zi2} = -4 \end{cases}$$

$$\therefore y_{zi}(t) = (5e^{-2t} - 4e^{-3t})\varepsilon(t)$$

**117** 如图 57(a)所示系统, 输入  $f(t)$  的频谱  $F(j\omega)$  如图 57(b)所示。

(1) 画出输出  $y(t)$  的频谱  $Y(j\omega)$ ; (2) 推导出  $\text{Re}[y(t)]$  的频谱  $Y_R(j\omega)$  与  $Y(j\omega)$  的关系, 并画出  $Y_R(j\omega)$ 。

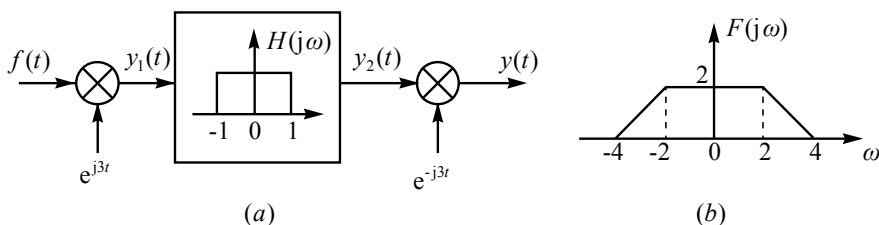


图 57

解: (1) 设  $y_1(t)$ 、 $y_2(t)$  如图中所示,  $e^{j3t} \leftrightarrow 2\pi\delta(\omega-3)$ ,  $e^{-j3t} \leftrightarrow 2\pi\delta(\omega+3)$ ,

$$y_1(t) \leftrightarrow \frac{1}{2\pi} F(j\omega) * 2\pi\delta(\omega-3) = F[j(\omega-3)], \quad Y_2(j\omega) = Y_1(j\omega)H(j\omega),$$

$$Y(j\omega) = \frac{1}{2\pi} Y_2(j\omega) * 2\pi\delta(\omega+3) = Y_2[j(\omega+3)]$$

$Y_1(j\omega)$ 、 $H(j\omega)$ 、 $Y_2(j\omega)$ 、 $Y(j\omega)$  的图形如图 58(a)~(d)所示。

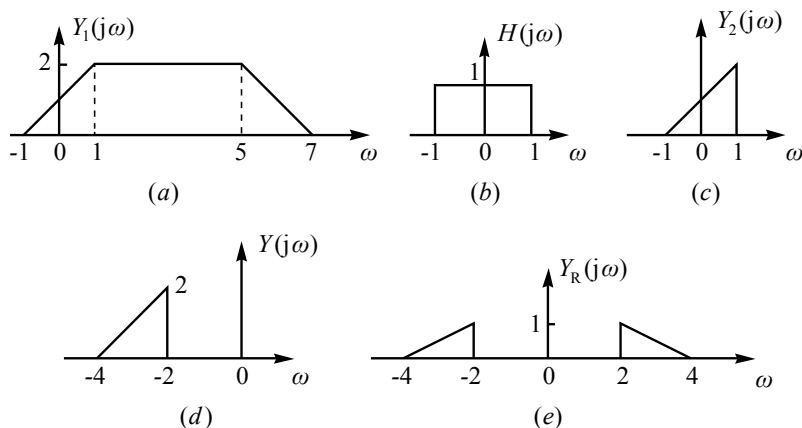


图 58

(2) 设  $y(t) = y_r(t) + jy_i(t)$ , 则  $y^*(t) = y_r(t) - jy_i(t)$ ,  $Y(j\omega) = \int_{-\infty}^{\infty} y(t)e^{-j\omega t} dt$ ,  $Y^*(-j\omega) \leftrightarrow y^*(t)$ ,

$$\text{Re}[y(t)] = y_r(t) = \frac{1}{2}[y(t) + y^*(t)], \quad \therefore \text{Re}[y(t)] \leftrightarrow \frac{1}{2}[Y(j\omega) + Y^*(-j\omega)],$$

$Y_R(j\omega)$  的图形如图 58(e)所示。

**118** 单边  $z$  变换象函数  $F(z) = \frac{1}{z^2(z + \frac{1}{2})}$ , 收敛域  $|z| > \frac{1}{2}$ , 则原序列  $f(k)$  等于\_\_\_\_\_。

$$\text{解: } F(z) = \frac{z^{-2}}{z + \frac{1}{2}} = \frac{z}{z + \frac{1}{2}} \cdot z^{-3} \leftrightarrow \left(-\frac{1}{2}\right)^{k-3} \varepsilon(k-3) = f(k)$$

**119** 系统流图如图 59 所示,

(1) 求  $H(z)$ ; (2) 判断系统是否稳定, 说明理由并写出过程; (3) 写出系统的状态方程和输出方程。

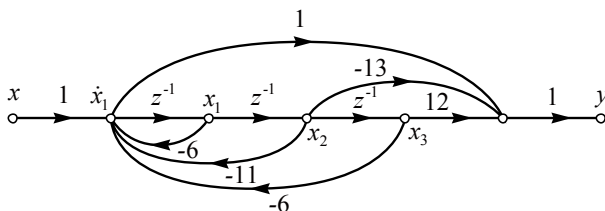


图 59

解: (1)  $H(z) = \frac{1-13z^{-2}+12z^{-3}}{1+6z^{-1}+11z^{-2}+6z^{-3}} = \frac{z^3-13z^2+12}{z^3+6z^2+11z+6}$

(2) 由  $H(z)$  的分母多项式  $A(z) = z^3 + 6z^2 + 11z + 6$  知  $z^3$  的系数  $1 <$  常数项  $6$ ,

故该因果离散系统不稳定。

(3) 由  $x_1(k+1) = -6x_1(k) - 11x_2(k) - 6x_3(k) + f(k)$ ,  $x_2(k+1) = x_1(k)$ ,  $x_3(k+1) = x_2(k)$  可得状态方程:

$$\begin{bmatrix} x_1(k+1) \\ x_2(k+1) \\ x_3(k+1) \end{bmatrix} = \begin{bmatrix} -6 & -11 & -6 \\ 1 & 0 & 0 \\ 0 & 1 & 0 \end{bmatrix} \begin{bmatrix} x_1(k) \\ x_2(k) \\ x_3(k) \end{bmatrix} + \begin{bmatrix} 1 \\ 0 \\ 0 \end{bmatrix} f(k) \quad , \quad \text{由 } y = -13x_2 + 12x_3 + [f - 6x_1 - 11x_2 - 6x_3]$$

$$= -6x_1 - 24x_2 + 6x_3 + f \Rightarrow y = [-6 \quad -24 \quad 6] \begin{bmatrix} x_1(k) \\ x_2(k) \\ x_3(k) \end{bmatrix} + f(k)$$

**120** 周期信号  $f(t) = 1 + 4\sin(t + 45^\circ) - 2\cos(2t - 45^\circ)$ , 求该信号的双边相位频谱。

解:  $f(t) = 1 + 4\cos(t - 45^\circ) + 2\cos(2t + 135^\circ) = 1 + 2e^{jt}e^{-j45^\circ} + 2e^{-jt}e^{j45^\circ} + e^{j2t}e^{j135^\circ} + e^{-j2t}e^{-j135^\circ}$ 。

频谱图如图 60 所示。注:  $\frac{T_1}{T_2} = \frac{2\pi}{2\pi/2} = 2$ ,  $T = T_1$ ,  $\Omega = \frac{2\pi}{T_1} = 1$

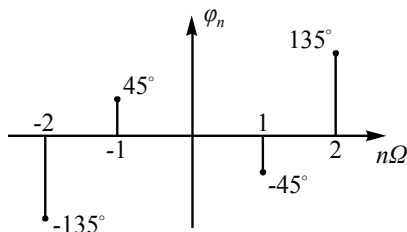


图 60

**121** 信号  $f(t) = 2t \cdot \frac{d}{dt}[\sin(2t - \frac{\pi}{6})\delta(t)]$  的傅氏变换  $F(j\omega) =$  \_\_\_\_\_。

解: 原式  $= 2t \cdot \frac{d}{dt}[-\frac{1}{2}\delta(t)] = -t\delta'(t) = \delta(t) \leftrightarrow 1$

**122** 如图 61(a), 设  $u_s(t)$  为输入,  $u_c(t)$  为输出, 则电路系统的冲激响应  $h(t)$  等于\_\_\_\_\_。

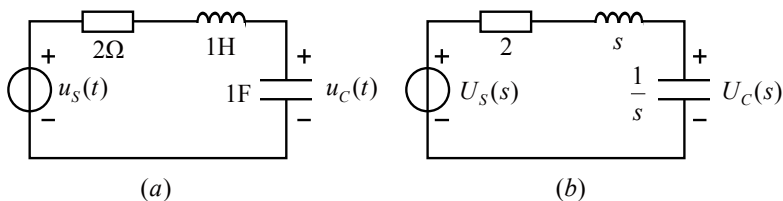


图 61

解: 设零状态, 画  $s$  域模型如图 61(b)所示,

$$H(s) = \frac{U_c(s)}{U_s(s)} = \frac{1/s}{2+s+1/s} = \frac{1}{s^2+2s+1} = \frac{1}{(s+1)^2} \Rightarrow h(t) = te^{-t}\varepsilon(t)$$

**123** 如图 62 所示系统的信号流图,  $f(t)$  为输入,  $y(t)$  为输出, 则描述该系统的输入输出方程为\_\_\_\_\_。

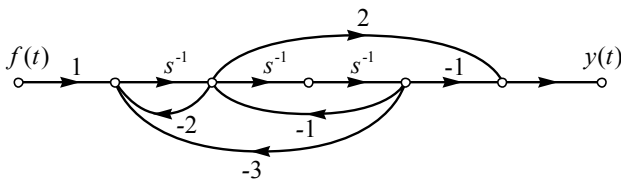


图 62

解:  $H(s) = \frac{2s^{-1} - s^{-3}}{1 + 2s^{-1} + s^{-2} + 3s^{-3}} = \frac{2s^2 - 1}{s^3 + 2s^2 + s + 3} = \frac{Y_z(s)}{F(s)}$ ,  $\therefore y'''(t) + 2y''(t) + y'(t) + 3y(t) = 2f''(t) - f(t)$

**124** 一 LTI 离散因果系统,  $H(z) = \frac{z}{z+1/2}$ ,  $|z| > \frac{1}{2}$ 。

(1) 求频响函数  $H(e^{j\theta})$ ; (2) 求输入  $f(k) = 2\cos(\pi k) + 6\cos(2\pi k)$  的稳态响应  $y_s(k)$ ;

(3) 求输出与输入相比是否有失真, 若有, 是哪种, 理由?

解: (1) 因  $H(z)$  的收敛域包含  $|z|=1$  的单位圆, 故该因果离散系统稳定, 存在频响。

$$H(e^{j\theta}) = H(z)|_{z=e^{j\theta}} = \frac{e^{j\theta}}{e^{j\theta} + 1/2}$$

$$(2) \theta = \pi \text{ rad}, H(e^{j\pi}) = \frac{e^{j\pi}}{e^{j\pi} + 1/2} = 2\angle 0^\circ; \theta = 2\pi \text{ rad}, H(e^{j2\pi}) = \frac{e^{j2\pi}}{e^{j2\pi} + 1/2} = \frac{2}{3}\angle 0^\circ。$$

$$\therefore y_s(k) = 2 \times 2\cos(\pi k) + \frac{2}{3} \times 6\cos(2\pi k) = 4\cos(\pi k) + 4\cos(2\pi k)$$

(3) 发生了失真, 且为幅度失真, 因信号的两个频率分量幅度比发生了变化;

无相位失真, 因频率分量经系统传输后初相位无变化, 即两者的相对位置未变化。

**125** 单边拉氏变换象函数  $F(s) = \frac{2e^{-2s}}{(s+1)(s+3)}$ , 则原函数  $f(t)$  等于 ( )。

解:  $F(s) = (\frac{1}{s+1} - \frac{1}{s+3})e^{-2s} \leftrightarrow f(t) = (e^{-(t-2)} - e^{-3(t-2)})\varepsilon(t-2)$



**126** 已知 LTI 连续系统的阶跃响应  $g(t) = (1 - e^{-2t})\varepsilon(t)$ ，输入  $f(t) = 1 + 4\sqrt{2}\cos(2t + 30^\circ)$ ，则稳态响应  $y_s(t)$  等于\_\_\_\_\_。

解：  $h(t) = g'(t) = 2e^{-2t}\varepsilon(t) \Rightarrow H(j\omega) = \frac{2}{j\omega + 2}$ ，对输入信号两个频率分量的频响函数值分别为：

$$\omega = 0, H(j0) = 1\angle 0^\circ; \quad \omega = 2, H(j2) = \frac{1}{j+1} = \frac{\sqrt{2}}{2}\angle -45^\circ.$$

$$\therefore y_s(t) = 1 \times 1 + 4\sqrt{2} \times \frac{1}{\sqrt{2}} \cos(2t + 30^\circ - 45^\circ) = 1 + 4\cos(2t - 15^\circ)$$

**127** 描述某因果离散系统的差分方程为  $y(k) - y(k-1) - 2y(k-2) = 6f(k)$ ，已知输入  $f(k) = \varepsilon(k)$ ， $y(0) = 0$ ， $y(1) = 6$ 。

(1) 求零状态响应  $y_{zs}(k)$ ；(2) 求零输入响应  $y_{zi}(k)$ 。

解：(1) 设零状态，对方程取  $z$  变换， $Y_{zs}(z) - z^{-1}Y_{zs}(z) - 2z^{-2}Y_{zs}(z) = \frac{6z}{z-1}$ ，

$$\therefore Y_{zs}(z) = \frac{6z^3}{(z-1)(z+1)(z-2)} = \frac{-3z}{z-1} + \frac{z}{z+1} + \frac{8z}{z-2}, \quad \therefore y_{zs}(k) = [-3 + (-1)^k + 8(2)^k]\varepsilon(k).$$

$$(2) \text{ 令 } k=0,1, \text{ 代入上式, } \left. \begin{matrix} y_{zs}(0) = 6 \\ y_{zs}(1) = 12 \end{matrix} \right\} \Rightarrow \begin{cases} y_{zi}(0) = y(0) - y_{zs}(0) = -6 \\ y_{zi}(1) = y(1) - y_{zs}(1) = -6 \end{cases}$$

由  $Y_{zs}(z)$  可知特征根  $\lambda_1 = -1$ ， $\lambda_2 = 2$ ，令  $y_{zi}(k) = C_{zi1}(-1)^k + C_{zi2}(2)^k$

$$\left. \begin{matrix} y_{zi}(0) = C_{zi1} + C_{zi2}(2) = -6 \\ y_{zi}(1) = -C_{zi1} + 2C_{zi2}(2) = -6 \end{matrix} \right\} \Rightarrow y_{zi}(k) = -[2(-1)^k + 4(2)^k]\varepsilon(k)$$

**128** 已知函数  $f_1(t) = \varepsilon(t+1) - \varepsilon(t-1)$ ， $f_2(t) = 3t^2\varepsilon(t)$ ，设  $y(t) = f_1(t) * f_2(t)$ ，则  $y(1) = \underline{\hspace{2cm}}$ 。

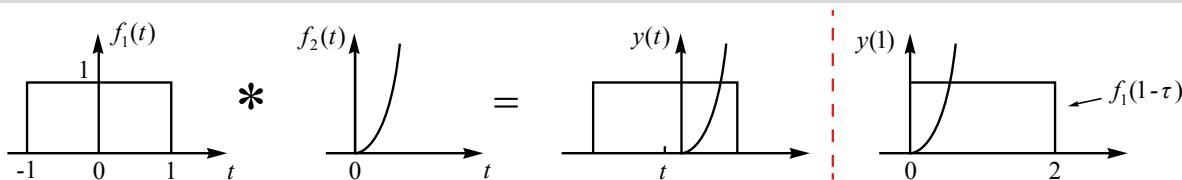


图 63

解：如图 63， $\therefore \int_0^2 3\tau^2 d\tau = 8$

**129** 傅里叶变换  $F(j\omega) = \frac{2}{j\omega - \omega^2}$  的原函数  $f(t) = \underline{\hspace{2cm}}$ 。

解：  $\frac{2}{j\omega(1+j\omega)} = \frac{2}{j\omega} - \frac{2}{1+j\omega} = \text{sgn}(t) - 2e^{-t}\varepsilon(t)$

**130**  $f(t) = \delta(t) + e^{-2t}\varepsilon(t)$  的单边拉氏变换  $F(s) =$ \_\_\_\_\_。

解：原式  $= 1 + \frac{1}{s+2} = \frac{s+3}{s+2}$

**131** 离散序列  $f(k) = \sum_{m=0}^{\infty} 2^m \varepsilon(k-m)$  的单边  $z$  变换  $F(z) =$ \_\_\_\_\_。

解：原式  $= 2^k \varepsilon(k) * \varepsilon(k) \leftrightarrow \frac{z}{z-2} \cdot \frac{z}{z-1} = \frac{z^2}{(z-2)(z-1)}$

**132** 已知  $f(t) = 2t^2 - 3t + 6$ ，则其偶部函数  $f_e(t) =$ \_\_\_\_\_。

解：  $f(-t) = 2(-t)^2 - 3(-t) + 6 = 2t^2 + 3t + 6$ ，  $f_e(t) = \frac{1}{2}[f(t) + f(-t)] = 2t^2 + 6$

**133** 信号  $f(t) = e^{-(2+j2)t}\varepsilon(t)$  的傅里叶变换  $F(j\omega) =$ \_\_\_\_\_。

解：原式  $= e^{-j2t} e^{-2t} \varepsilon(t)$ ，  $e^{-2t} \varepsilon(t) \leftrightarrow \frac{1}{j\omega + 2}$ ，  $\therefore F(j\omega) = \frac{1}{j(\omega + 2) + 2}$

**134** 已知双边  $z$  变换象函数  $F(z) = \frac{z^2 - 3z}{z^2 - 3z + 2}$ ，  $1 < |z| < 2$ ，则原序列  $f(k) =$ \_\_\_\_\_。

解：原式  $= \frac{2z}{z-1} - \frac{z}{z-2}$ ，  $\therefore f(k) = 2\varepsilon(k) + 2^k \varepsilon(-k-1)$

**135** 已知 LTI 系统具有一定的起始状态（又称  $0_-$  初始状态），已知输入  $f_1(t)$  时系统的全响应

$$y_1(t) = 7e^{-t} + 2e^{-3t}, t \geq 0, \text{ 当输入 } f_2(t) = -3f_1(t) \text{ 时系统的全响应 } y_2(t) = -13e^{-t} + 4e^{-2t} - 6e^{-3t}, t \geq 0。$$

- (1) 求系统的零输入响应  $y_{zi}(t)$ ；
- (2) 求当输入  $f_1(t)$  时的零状态响应  $y_{zs1}(t)$ ；
- (3) 求当输入  $f_3(t) = 2f_1(t-1)$  时的零状态响应  $y_{zs3}(t)$  及全响应  $y_3(t)$ 。

解：(1) 设  $y_1(t) = y_{zi}(t) + y_{zs1}(t) = 7e^{-t} + 2e^{-3t}$  ①

$$y_2(t) = y_{zi}(t) - 3y_{zs1}(t) = -13e^{-t} + 4e^{-2t} - 6e^{-3t} \quad ②$$

$$3 \times ① + ②, \text{ 得 } 4y_{zi}(t) = 8e^{-t} + 4e^{-2t} \Rightarrow y_{zi}(t) = (2e^{-t} + e^{-2t})\varepsilon(t) \quad ③$$

$$(2) \quad ① - ③, \text{ 得 } y_{zs1}(t) = (5e^{-t} - e^{-2t} + 2e^{-3t})\varepsilon(t)$$

$$(3) \quad y_{zs3}(t) = 2y_{zs1}(t-1) = [10e^{-(t-1)} - 2e^{-2(t-1)} + 4e^{-3(t-1)}]\varepsilon(t-1)$$

$$y_3(t) = y_{zi}(t) + y_{zs3}(t) = (2e^{-t} + e^{-2t})\varepsilon(t) + [10e^{-(t-1)} - 2e^{-2(t-1)} + 4e^{-3(t-1)}]\varepsilon(t-1)$$